



TUGAS AKHIR – ME184834

**PERANCANGAN MODEL SISTEM KONTROL
OTOMATIS PADA SISTEM BONGKAR MUAT
KAPAL TANKER BERBASIS PLC**

Reyhan Ibrahim

04211640000115

Dosen Pembimbing :

Ir. Agoes Ahmad Masroeri, M. Eng, D. Eng

Juniarko Prananda, S.T., M.T.

DEPARTEMEN TEKNIK SISTEM PERKAPALAN

FAKULTAS TEKNOLOGI KELAUTAN

INSTITUT TEKNOLOGI SEPULUH NOPEMBER SURABAYA



TUGAS AKHIR

**PERANCANGAN MODEL SISTEM
KONTROL OTOMATIS PADA SISTEM
BONGKAR MUAT KAPAL TANKER
BERBASIS PLC**

REYHAN IBRAHIM
04211640000115

DOSEN PEMBIMBING
Ir. Agoes Ahmad Masroeri, M. Eng, D. Eng
Juniarko Prananda, S.T., M.T.

DEPARTEMEN TEKNIK SISTEM PERKAPALAN
FAKULTAS TEKNOLOGI KELAUTAN
INSTITUT TEKNOLOGI SEPULUH NOPEMBER
SURABAYA
2020

Halaman ini sengaja dikosongkan



FINAL PROJECT

**DESIGN OF AUTOMATIC MODEL ON
LOADING-UNLOADING SYSTEM IN
TANKERS IN PLC BASED**

REYHAN IBRAHIM
04211640000115

SUPERVISOR

Ir. Agoes Ahmad Masroeri, M. Eng, D. Eng
Juniarko Prananda, S.T., M.T.

**DEPARTMENT OF MARINE ENGINEERING
FACULTY OF MARINE TECHNOLOGY
INSTITUT TEKNOLOGI SEPULUH NOPEMBER
SURABAYA
2020**

Halaman ini sengaja dikosongkan

LEMBAR PENGESAHAN I

**PERANCANGAN MODEL SISTEM KONTROL OTOMATIS PADA SISTEM
BONGKAR MUAT KAPAL TANKER BERBASIS PLC**

TUGAS AKHIR

Diajukan Untuk Memenuhi Salah Satu Syarat
Memperoleh Gelar Sarjana Teknik

pada

Bidang Studi *Marine Electrical and Automation Sistem* (MEAS)
Program Studi S-1 Departemen Teknik Sistem Perkapalan
Fakultas Teknologi Kelautan
Institut Teknologi Sepuluh Nopember

Oleh :

Reyhan Ibrahim
NRP. 04211640000115

Disetujui oleh Pembimbing Tugas Akhir :

1. Ir.Agoes Ahmad Masroeri, M. Eng, D. Eng
NIP. 1958 0807 1984 03 1004

2. Juniarko Prananda, S.T., M.T.
NIP. 1990 0605 2015 04 1001



Halaman ini sengaja dikosongkan

LEMBAR PENGESAHAN II

PERANCANGAN MODEL SISTEM KONTROL OTOMATIS PADA SISTEM BONGKAR MUAT KAPAL TANKER BERBASIS PLC

TUGAS AKHIR

Diajukan Untuk Memenuhi Salah Satu Syarat

Memperoleh Gelar Sarjana Teknik

pada

Bidang Studi *Marine Electrical and Automation Sistem (MEAS)*

Program Studi S-1 Departemen Teknik Sistem Perkapalan

Fakultas Teknologi Kelautan

Institut Teknologi Sepuluh Nopember

Oleh :

Reyhan Ibrahim

NRP. 04211640000115

Disetujui oleh Ketua Departemen Teknik Sistem Perkapalan



NIP. 197903192008011008

Halaman ini sengaja dikosongkan

PERANCANGAN MODEL SISTEM KONTROL OTOMATIS PADA SISTEM BONGKAR MUAT KAPAL TANKER BERBASIS PLC

Nama mahasiswa : Reyhan Ibrahim
NRP : 04211640000115
Pembimbing : 1. Ir. Agoes Achmad Masroeri, M.Eng.,
D.Eng
2. Juniarko Prananda, S.T, M.T.

ABSTRAK

Pada kapal tanker terdapat ruangan kontrol atau yang biasa disebut dengan cargo control room. Di dalam ruangan tersebut, terdapat aktivitas untuk mempermudah dalam mengatur perpindahan dan aliran minyak yang akan dimuat dalam tangki yang diinginkan serta katup yang mengatur di setiap tangki. Selain itu, aktivitas tersebut dapat berguna untuk mengatur tangki agar tidak terjadi overfill serta kestabilan kapal pada saat proses loading unloading berlangsung. Jika masalah tersebut terjadi, kemiringan kapal sangatlah berpengaruh dan membahayakan kapal. Dalam hal ini, proses distribusi minyak akan dirancang dan didistribusikan dengan menggunakan CX-Omron model yang akan dioperasikan melalui perangkat lunak komputer dengan program yang dirancang oleh PLC supaya proses distribusi berjalan lancar dan sesuai. CX-Omron yang menjalankan model tersebut. Dalam proses distribusi, sering terjadi berbagai kejanggalan yang terjadi mulai dari aliran arus yang secara tiba-tiba tidak stabil serta tekanan yang berubah-ubah. Dengan mengandalkan respon yang cepat oleh PLC, jika terjadi sesuatu yang tidak diinginkan pada saat proses distribusi dapat ditangani dengan sangat baik dan memudahkan manusia.

Kata Kunci: Kapal Tanker, *Loading Unloading*, PLC, CX-Omron, sistem kontrol, otomatisasi, PLC.

Halaman ini sengaja dikosongkan

DESIGN OF AUTOMATIC MODEL ON TANKERS CARGO SYSTEM IN PLC BASED

Student Name : Reyhan Ibrahim
NRP : 04211640000115
Supervisor : 1. Ir. Agoes Achmad Masroeri, M.Eng., D.Eng
2. Juniarko Prananda, S.T, M.T.

ABSTRACT

On the tanker there is a control room or what is commonly called a cargo control room. In the room, activities are available to facilitate the allocation and flow of oil to be sent in the necessary tanks and valves provided in each tank. In addition, this activity can be useful for the tank to prevent overflowing and stability of the ship while the loading process is in progress. If the problem occurs, then the tilt of the ship is lost and endangering the ship. In this case, the oil distribution process will be designed and used using the CX-Omron model which will be operated via a computer with a program designed by the PLC. The distribution process runs smoothly and accordingly. CX-Omron is running the model. In the distribution process, various irregularities often occur starting from the flow of a sudden unstable current and changing pressure. By relying on the PLC's fast response, if something unexpected happens during the distribution process it can be done very well and makes it easy for humans.

Keywords: Tanker, Loading Unloading, PLC, CX-Omron, control system, automation, PLC

“Halaman Ini Sengaja Dikosongkan”

DAFTAR ISI

LEMBAR PENGESAHAN	Error! Bookmark not defined.
ABSTRAK.....	x
ABSTRACT	xii
DAFTAR ISI	xiv
DAFTAR GAMBAR.....	xviii
DAFTAR TABEL	20
BAB 1	21
1.1 Latar Belakang	1
1.2 Rumusan Masalah	2
1.3 Batasan Masalah.....	2
1.4 Tujuan	3
1.5 Manfaat	3
BAB 2.....	5
2.1 Cargo System Pada Kapal Tanker.....	5
2.1.1 Pengertian Umum	5
2.1.2 Jenis sistem bongkar muat pada Cargo Tanker.....	5
2.2 Tipe dari Oil Tanker Cargo System	7
2.2.1 <i>Center Line Bulkhead Tanker</i>	7
2.2.2 <i>Twin Bulkhead Tanker Circular Line</i>	8
2.3 Dasar Sistem Kontrol	8
2.3.1 Open Loop	9
2.3.2 Closed Loop	9
2.4 Programmable Logic Controller	10
2.4.1 Jenis Programmable Logic Controller (PLC)	10
2.5 <i>Ladder Diagram</i> (Diagram Tangga)	11
2.5.1 Pengetahuan Dasar Tentang Diagram Tangga.....	12
2.6 Omron – CX- One	13

BAB 3	16
3.1 Identifikasi Dan Perumusan Masalah.....	17
3.2 Studi Literatur	18
3.3 Pengumpulan Data	18
3.4 Desain dari sistem kontrol berbasis PLC - SCADA	18
3.5 Pemilihan komponen yang digunakan	18
3.6 Menyusun sistem kontrol sesuai skenario.....	18
3.7 Simulasi sistem kontrol sesuai dengan skenario	18
3.8 Analisa dan Diskusi.....	18
3.9 Result.....	19
3.10 Kesimpulan	19
BAB 4	21
4.1. Penjelasan Umum.....	21
4.2. Rancangan Sistem Otomasi pada <i>Loading Unloading</i>	21
4.2.1. Cargo Pump Switch Control	21
4.2.2. Cargo Valve Control	21
4.2.3. Cargo Tank Level Indicator	22
4.2.4. Loading Unloading Timer.....	22
4.2.5. Cargo Tank Level Alarm	22
4.2.6. Loading Unloading Switch Control	22
4.2.7. Loading Unloading Rate Control.....	22
4.3. MT.Zenith Cargo Oil System Specification.....	22
4.3.1. Pump Specification	22
4.3.2. Cargo Piping	22
4.4. Desain Sistem Kontrol	23
4.5. Pengalamatan pada PLC	23
4.5.1. Simulasi 1 Tangki (Loading - Unloading).....	23
4.5.2. Simulasi 10 Tangki Kapal (<i>Loading – Unloading</i>).....	28
4.6. Analisa dan Diskusi.....	37
4.6.1. Analisa dan Diskusi pada <i>Loading System</i>	38

4.6.2. Analisa dan Diskusi pada <i>Unloading System</i>	41
4.7.3 Analisa Keuntungan Sistem.....	44
BAB 5.....	47
5.1. Kesimpulan	47
5.2. Saran.....	47
DAFTAR PUSTAKA.....	48
LAMPIRAN	50
BIODATA PENULIS.....	72

Halaman ini sengaja dikosongkan

DAFTAR GAMBAR

Gambar 2.1 Ring Main System.....	6
Gambar 2.2 Direct Line System.....	6
Gambar 2.3 Free Flow System.....	7
Gambar 2.4 Center Line Bulkhead Tanker	7
Gambar 2.5 Twin Bulkhead Tanker Circular Type	8
Gambar 2.6 Sistem Kontrol Dengan Siklus Open Loop.....	9
Gambar 2.7 Sistem kontrol dengan siklus closed loop.....	9
Gambar 2.8 Cara kerja Programmable Logic Controller.....	10
Gambar 2.9 Compact Programmable Logic Controller	11
Gambar 2.10 Modular Programmable Logic Controller.....	11
Gambar 2.11 Sistem Kontrol Dengan Menggunakan Diagram Tangga	12
Gambar 2.12 CX-One dalam alat terpadu perangkat lunak.....	14
Fig. 3.1 Research Flowchart	17
Gambar 4.1 Diagram Blok Sistem Kontrol pada Loading Unloading kapal Tanker	23
Gambar 4.2 Diagram Tangga Sistem Kontrol pada 1 Tangki	24
Gambar 4.3 Diagram Tangga Sistem Kontrol pada 1 Tangki pada Proses Unloading.....	25
Gambar 4.4 Diagram Tangga Sistem Kontrol pada 1 Tangki sebagai Indikator.....	26
Gambar 4.5 Perancangan Desain untuk Simulasi pada CX - Designer	27
Gambar 4.6 Penyesuaian alamat pada komponen sesuai alamat	27
Gambar 4-7 Diagram Tangga Sistem Kontrol pada keseluruhan tangki	30
Gambar 4.8 Diagram Tangga Sistem Kontrol pada 1 Tangki pada Proses Unloading.....	32
Gambar 4.9 Diagram Tangga Sistem Kontrol pada Keseluruhan Tangki sebagai Indikator.....	34
Gambar 4.10 Perancangan Desain Simulasi Pada CX – Designer Proses Loading pada posisi kosong.....	35
Gambar 4.11 Perancangan Desain Simulasi Pada CX – Designer Proses Loading pada Kondisi Penuh.....	36
Gambar 4.12 Pengaruh Trim pada Tangki Cargo Kapal Loading pada Kondisi Penuh.....	37
Gambar 4.13 Standar PT.Pertamina MOR VI Balikpapan	39
Gambar 4.14 Standar PT.Pertamina MOR VI Balikpapan	42

Halaman ini sengaja dikosongkan

DAFTAR TABEL

Table 2-1 Simbol Dasar Dari Diagram Tangga	12
Table 4-1 Input dan Output PLC	24
Table 4-2 Input dan Output PLC	28
Table 4-3 Output PLC.....	28
Table 4-4 Data Kapal Perbandingan PT. Pertamina MOR VI Untuk Proses Loading	40
Table 4-5 Data kapal perbandingan PT. Pertamina MOR VI untuk proses Unloading.....	43
Table 4-6 Skenario Perbandingan Waktu pada saat Loading.....	43
Table 4-7 Skenario Perbandingan Jumlah dan Upah Crew per Tahun.....	44

Halaman ini sengaja dikosongkan

BAB 1

PENDAHULUAN

1.1 Latar Belakang

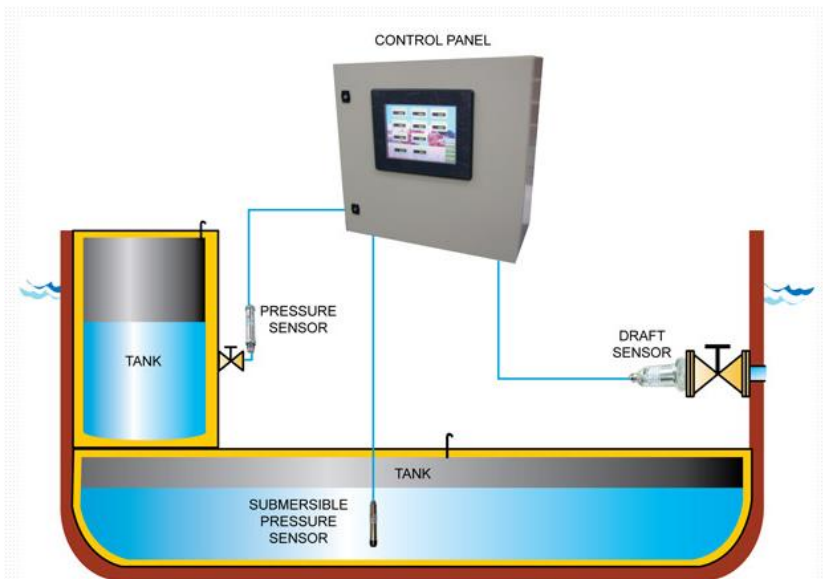
Pada era ini dan masa yang akan datang, industri berkembang pesat seiring dengan perkembangan teknologi. Karena perkembangan tersebut, manusia sebagai pihak yang terlibat secara langsung termotivasi dalam upaya meningkatkan produktivitasnya. Industri minyak dan gas melibatkan penggunaan berbagai mesin dan platform untuk memperoleh banyak fungsi yang diperlukan untuk menjalankan industri dari bawah ke atas (LUKOIL, 2013).

Penelitian untuk menemukan dan mengidentifikasi minyak di ladang minyak, pabrik percontohan awal untuk mengidentifikasi potensi lapangan dan pengeboran minyak dan mengekstraksi minyak dan gas dari ladang, serta memproses minyak dan gas menjadi berbagai produk mentah dan penyulingan produk menjadi produk akhir yang dapat digunakan dan penyimpanan dan pengangkutan produk ini membutuhkan berbagai kapal dan mesin teknik. (Devold Harvard, 2013). Kandungan minyak dan gas bumi yang bersifat terbatas di perairan lepas pantai, maka untuk menyederhanakan minyak sebelum dapat digunakan dan didistribusikan melibatkan beberapa jenis platform pemrosesan minyak.

Proses loading unloading yang terdapat pada kapal tanker harus diperhatikan dan diawasi dengan baik agar tidak terjadi kesalahan pada saat berlangsung. Pada saat kapal tanker melakukan proses bongkar muat, kapal tersebut secara bersamaan mengisi ballast yang menjadi pengganti cargo. Dengan hal ini, penghematan waktu pada proses tersebut sangatlah ekonomis dan dalam waktu yang sama dapat mengatur kestabilan kapal yang mana untuk mencegah kemiringan yang membahayakan kapal.

Karena aktivitas tersebut, maka perlu dilakukan perancangan sistem otomasi yang dapat dibuat dalam rangka untuk memonitor proses tersebut. Dengan simulasi yang dilakukan sesuai dengan sistem loading unloading kapal tanker yang terpasang, hal ini dapat memudahkan dalam pengaturan tangki, serta kapasitas minyak yang disalurkan. Dalam hal ini, PLC berperan dalam memonitor segala kegiatan bongkar muat yang ada pada kapal tanker.

Programmable logic controller atau yang biasa dikenal dengan nama PLC adalah suatu komponen yang terkenal di dunia industri akan ketetapan yang sangat presisi, respon yang sangat cepat, serta efisiensi kerja yang maksimal. Manusia sangatlah tertarik dengan komponen ini karena meminimalisir seluruh perkerjaan dengan hanya sekali input data.



Gambar 1.1 Salah satu pengontrolan tangki pada kapal (FLOTECH)
 Sumber : (FLOWTECH, 2005)

Untuk itu, dalam penelitian ini akan dilakukan proses pemrograman pada PLC untuk melakukan logic tertentu sesuai dengan yang diprogram, serta pemograman oleh software CX sebagai jembatan pada logic yang terbentuk untuk dapat dilakukan proses monitoring yang berawal dari *storage* sampai *reservoir* pada proses distribusi minyak.

1.2 Rumusan Masalah

Dari latar belakang diatas didapatkan rumusan masalah supaya bahasan lebih terarah:

1. Bagaimana membuat pemodelan sistem kontrol loading unloading pada kapal tanker berbasis PLC dengan skala laboratorium?
2. Bagaimana performa sistem kontrol loading unloading pada kapal tanker berbasis PLC?

1.3 Batasan Masalah

Dari masalah yang ada dapat diketahui batasan masalah supaya pembahasan lebih terarah:

1. Sistem PLC yang diimplementasikan menggunakan model tidak berskala atau skala laboratorium.
2. Sistem control otomatis yang dirancang hanya berfokus pada sistem *loading unloading* dan tidak memperhitungkan sistem ballast.

1.4 Tujuan

Dari rumusan masalah diatas dapat diketahui tujuan sebagai berikut:

1. Membuat pemodelan dari sistem kontrol *loading unloading* pada kapal tanker berbasis PLC dengan skala laboratorium.
2. Untuk mengetahui performa sistem kontrol sistem kontrol *loading unloading* pada kapal tanker berbasis PLC.

1.5 Manfaat

Manfaat penulisan tugas akhir ini secara umum adalah untuk memahami efektivitas pengoperasian sistem kontrol serta pengembangan real-time monitoring dengan melakukan simulasi pada proses otomasi *loading unloading* pada kapal tanker berbasis PLC dibandingkan dengan sistem kontrol *loading unloading* pada kapal tanker secara manual.

“Halaman ini sengaja dikosongkan”

BAB 2

TINJAUAN PUSTAKA

2.

2.1 Cargo System Pada Kapal Tanker

2.1.1 Pengertian Umum

Pada sistem ini, jalur pipa bongkar muat telah diperhitungkan sebelumnya pada perancangan sistem kapal. Terdapat jenis serta jalur yang digunakan dalam penyaluran fluida yang berbeda-beda di setiap kapal. Salah satu sistem yaitu salah satu pompa melayani satu jalur pipa penyaluran minyak atau satu pompa yang mengontrol semua jalannya pipa penyaluran. Selain itu, tanker dilengkapi dengan pump room yang mana tidak hanya memuat pompa bongkar muat, tetapi pompa sistem yang lainnya juga terdapat di dalam ruang tersebut.

2.1.2 Jenis sistem bongkar muat pada Cargo Tanker

Pada proses bongkar muat kapal tanker, terdapat tiga sistem dan metode berbeda yang digunakan oleh tiap kapal.

2.1.2.1 Ring Main System

Perencanaan sistem kapal tanker ini digunakan sistem sistem utama cincin di mana sistem cincin utama adalah sistem perpipaan yang dirancang di mana setiap pompa dapat melayani setiap tangki memuat ruang (untuk lebih dari satu jenis muatan) Di mana masing-masing memiliki pipa utama sendiri. Dasar dari sistem ini adalah lingkaran ruang pompa di sekitar kapal, dengan garis silang pada setiap susunan tangki. Sistem ini banyak digunakan di kapal "tanker produk" di mana sistem mengikuti banyak jumlah muatan yang harus dibawa tanpa terkontaminasi. Sistem ini adalah sistem yang sangat berguna untuk memungkinkan berbagai kombinasi pompa dan saluran berbeda untuk tangki apa pun.

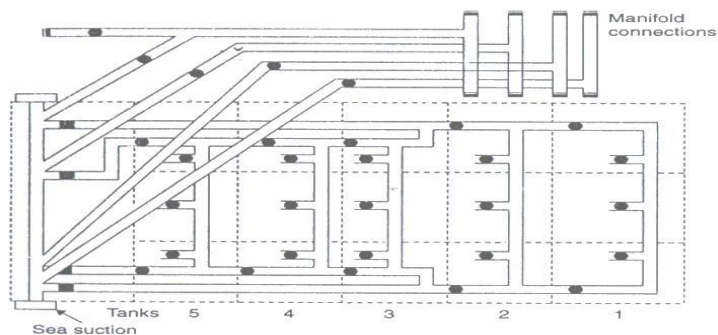


Fig. 5.7 Ring main system. Pump room aft.

Gambar 2.1 Ring Main System

Sumber : (Cult of Sea – Maritime Knowledge, 2015)

2.1.2.2 Direct Line System

Direct line system adalah Sistem perpipaan dan pemompaan yang melayani dan dikelompokkan berdasarkan jenis muatan, sehingga satu pompa hanya melayani satu jenis pengisian saja. Keuntungan dari sistem ini adalah mudah dioperasikan, karena menggunakan sedikit katup, mudah mengatur sistem katup, mudah mengisolasi setiap bagian untuk mencegah kontaminasi. Sedangkan kerugiannya sulit jika digunakan untuk pelepasan multiport. Sulit dibersihkan.

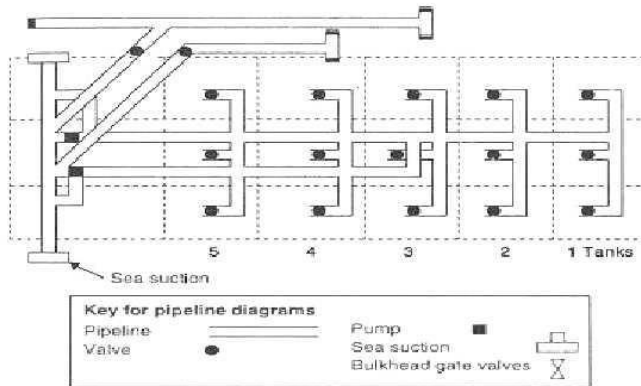


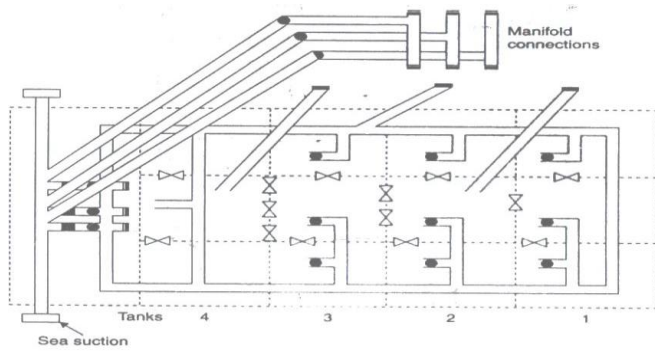
Fig. 5.6 Direct line system. Used mainly on crude and black oil tankers where separation of oil grades is not so important.

Gambar 2.2 Direct Line System

Sumber : (Cult of Sea – Maritime Knowledge, 2015)

2.1.2.3 Free Flow System

Sistem perpipaan dirancang sedemikian rupa sehingga setiap pompa dapat melayani setiap tangki melalui setiap pipa utama. Hasil dari sistem ini adalah memberikan kecepatan yang sangat tinggi pada saat pembuangan, kelemahan dari sistem ini adalah untuk memungkinkan terjadinya overflow.



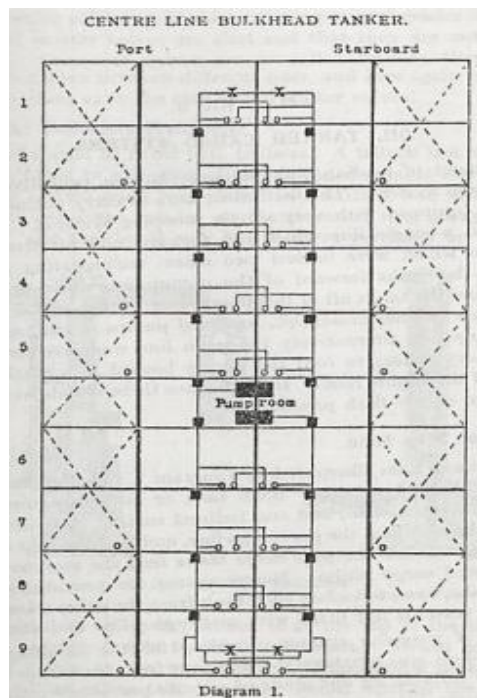
Gambar 2.3 Free Flow System

Sumber : (Cult of Sea – Maritime Knowledge, 2015)

2.2 Tipe dari Oil Tanker Cargo System

2.2.1 Center Line Bulkhead Tanker

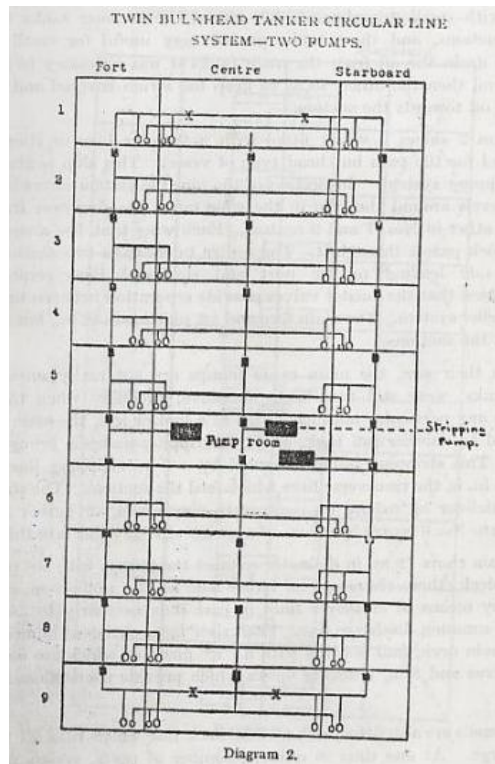
Sistem perpipaan *center line bulkhead* yang terdapat pada kapal tanker biasanya digunakan untuk tanker yang memiliki centerline bulkhead. Terdapat dua sisi suction yaitu direct suction yang digunakan untuk tangki di sisi port dan indirect suction untuk tangki di sisi starboard dengan masing-masing pompa cargo. sistem perpipaan dengan tipe ini biasanya digunakan pada kapal tanker yang memuat satu jenis muatan dan sangatlah berguna untuk kapal tanker yang memiliki tangki kargo yang sedikit.



Gambar 2.4 Center Line Bulkhead Tanker
Sumber : (Cult of Sea – Maritime Knowledge, 2015)

2.2.2 Twin Bulkhead Tanker Circular Line

Berbeda dengan sebelumnya, sistem perpipaan twin bulkhead tanker circular line biasanya digunakan pada kapal tanker yang mengaplikasikan dua sekat memanjang di ruangan kargonya. Sistem perpipaan dengan tipe ini dilengkapi dengan jalur pembersihan atau stripping system untuk membuang kotoran yang ada pada saat pembersihan tangki kargo. Center tank pada sistem ini mempunyai dua suction yang dihubungkan dengan pelabuhan pada saat bersandar di setiap sisi kapal secara berurutan. Pompa kargo yang digunakan pada transfer minyak tidak dapat digunakan untuk stripping system, dan terdapat dua main risers yang dihubungkan dengan crossover line.

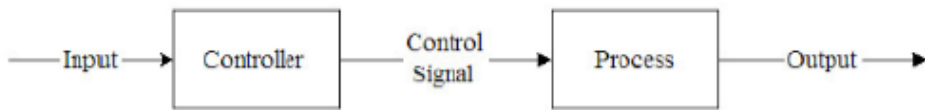


Gambar 2.5 Twin Bulkhead Tanker Circular Type
Sumber : (Cult of Sea – Maritime Knowledge, 2015)

2.3 Dasar Sistem Kontrol

Di semua sistem yang ada, pasti selalu menggunakan sebuah siklus atau urutan untuk mencapai tujuan yang diinginkan. Dalam sistem kontrol, terdapat dua jenis siklus. Siklus yang pertama adalah siklus *open loop*, lalu yang kedua adalah siklus *closed loop*. Setiap siklus memiliki kelebihan dan kekurangan, maka pemilihan siklus dari sistem kontrol tersebut harus tepat dan sesuai dengan sistem supaya efektif.

2.3.1 Open Loop

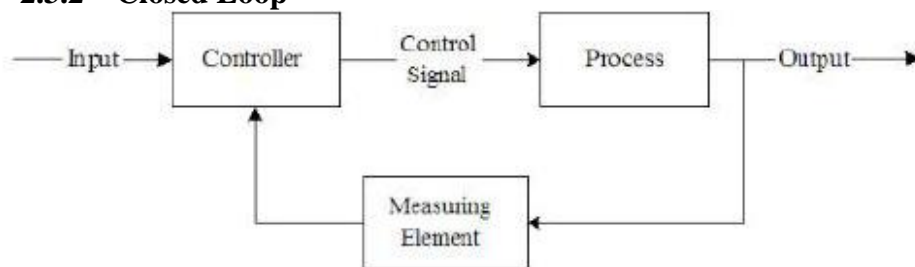


Gambar 2.6 Sistem Kontrol Dengan Siklus Open Loop
Sumber : (Materi Dasar Sistem Pengendalian, 2020)

Sistem kontrol dengan siklus *open loop* adalah sistem kontrol dengan output yang tidak berpengaruh atau tidak memberikan *feedback* ke input. Pada siklus ini, sistem tidak memiliki koreksi otomatis yang mana untuk mengontrol output yang diinginkan atau yang ingin dicapai. Maka dalam hal ini, cara satu-satunya untuk mendapatkan output yang diinginkan adalah dengan cara mengatur sistem tersebut secara manual..

Bisa dilihat dari Gambar 2.6 bahwa sistem ini sangat sederhana, stabil dan terbilang murah. Akan tetapi, karena tidak ada *feedback*, maka tidak tercipta sistem yang dapat mengatur output secara akurat. Terlebih lagi, sistem ini tidak memperhitungkan gangguan eksternal yang memengaruhi output dan tidak melakukan tindakan korektif secara otomatis.

2.3.2 Closed Loop



Gambar 2.7 Sistem kontrol dengan siklus closed loop
Sumber : (Materi Dasar Sistem Pengendalian, 2020)

Sistem kontrol dengan siklus *closed loop* adalah sistem kontrol dimana output yang diinginkan dapat tercapai karena output berpengaruh atau memberikan *feedback* kepada input. Pada Gambar 2.7 *Feedback* atau *measuring element* yang ada pada *closed loop* secara otomatis memperbaiki perubahan pada output yang mana dapat mempertahankan output dari gangguan. Maka dari itu, sistem kontrol *closed loop* bisa dibilang sebagai sistem kontrol otomatis.

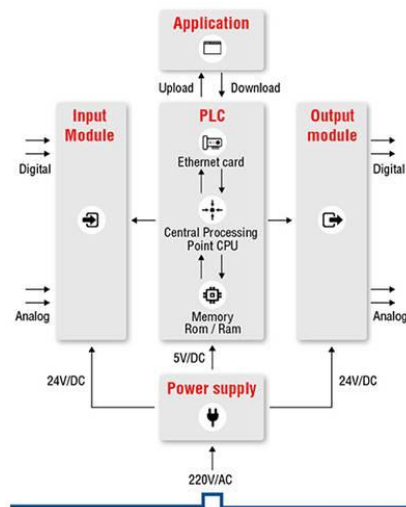
Dalam sistem kontrol dengan siklus *closed loop*, variable output dapat dikontrol setiap saat dan menghasilkan sinyal yang mana akan

mengarah ke elemen kontrol guna untuk melakukan tindakan korektif sehingga output diperoleh sesuai dengan harapan.

2.4 Programmable Logic Controller

Programmable Logic Controller atau yang biasa disingkat dengan PLC adalah sistem elektronik yang beroperasi secara digital dan dirancang untuk kegiatan industri, dimana ia menggunakan memori yang menjadi komponen utamanya untuk diprogram untuk menyimpan instruksi yang sudah diatur sedemikian rupa dengan mengimplementasikan fungsi spesifik untuk mengendalikan proses digital.

Pada tahun 1968, General Motor (GM) merancang PLC pertama kali untuk menggantikan posisi kontrol relai yang dianggap tidak fleksibel dalam hal urutan yang diatur serta biaya yang mahal. Pada 1980-an, sebuah upaya dilakukan untuk membuat standar komunikasi dengan protokol otomatisasi Automation Protocol (MAP) General Motor, serta meminimalkan ukuran PLC dan pemrograman dengan sehingga mudah ditangani.



Gambar 2.8 Cara kerja Programmable Logic Controller
Sumber : (Unitronics, 2020)

2.4.1 Jenis Programmable Logic Controller (PLC)

PLC memiliki dibagi menjadi 2 kategori, yaitu *modular* dan *compact*. Kedua kategori tersebut memiliki fungsi dasar yang sama.

- *Compact* PLC, yaitu salah satu jenis PLC yang mana dirancang untuk melakukan fungsi dasar. Memiliki bentuk yang kecil dan semuanya bertempat di satu entitas. dalam Compact PLC, berfungsinya semua proses sangat tergantung terhadap proses sempurna yang ditimbulkan oleh setiap komponen



Gambar 2.9 Compact Programmable Logic Controller

Sumber : (e-motionsupply.com)

- o Untuk *Modular PLC*, salah satu jenis PLC ini dikenal sebagai unit yang terdiri dari banyak slot yang memungkinkan banyak komponen yang terpasang mudah diperbaiki

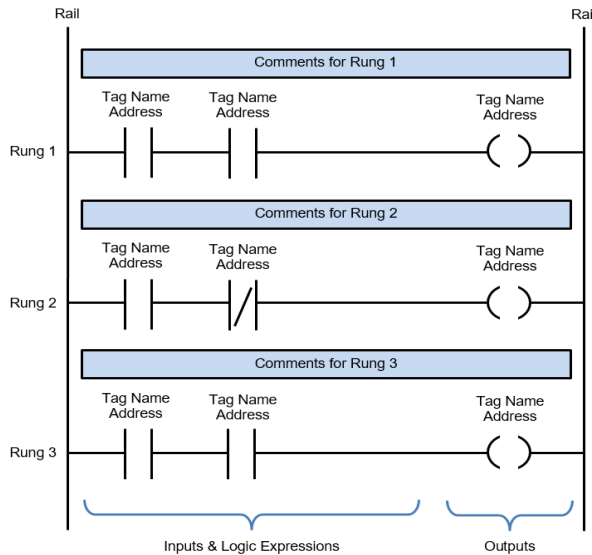


Gambar 2.10 Modular Programmable Logic Controller

Sumber : (indiaMART.com)

2.5 Ladder Diagram (Diagram Tangga)

Ladder diagram adalah diagram yang digunakan pada saat pemrograman PLC. Pada diagram tangga, terdapat dua bagian berbeda. Pertama adalah bagian daya, lalu yang kedua ada bagian kontrol. Sesuai dengan namanya, bagian daya berguna untuk menampilkan aliran daya ke motor atau perangkat lain, selain itu bagian kontrol untuk menampilkan kontrol motor dari motor atau perangkat lainnya. Dalam diagram tangga, pemakaian simbol sangatlah penting dalam pengaturan kontrol.



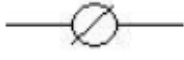
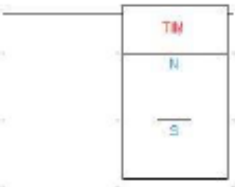
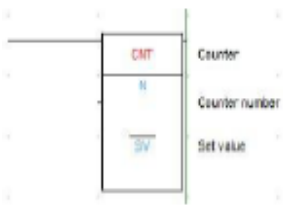
Gambar 2.11 Sistem Kontrol Dengan Menggunakan Diagram Tangga
 Sumber : (Ladder Logic World, 2020)

2.5.1 Pengetahuan Dasar Tentang Diagram Tangga

Pada perancangan diagram tangga, terdapat beberapa instruksi dasar yang sering digunakan untuk membuat logika sederhana. Instruksi tersebut dimasukkan ke dalam setiap anak tangga agar dapat bekerja dengan logika untuk membuat suatu sistem. Beberapa instruksi dasar dapat dilihat pada Table 2-1

Table 2-1 Simbol Dasar Dari Diagram Tangga

No	Nama	Simbol	Keterangan
1	Normally Open (NO) Contact		Simbol Instruksi yang menyatakan bahwa nilai akan bernilai 1 jika aktif, 0 jika tidak.
2	Normally Closed (NC) Contact		Simbol Instruksi yang menyatakan bahwa nilai akan bernilai 0 jika aktif, 1 jika tidak.
3	Normally Open (NO) Coil		Simbol Instruksi pada output yang menyatakan bahwa nilai akan bernilai 1 jika aktif, 0 jika tidak.

4	Normally Closed (NC) Coil		Simbol Instruksi pada output yang menyatakan bahwa nilai akan bernilai 0 jika aktif, 1 jika tidak.
5	TIM (Timer)		Simbol Instruksi yang akan aktif jika perintah sebelumnya adalah 1. Output dari instruksi ini akan aktif jika <i>set value</i> disetel 0
6	CNT (Counter)		Simbol Instruksi yang akan aktif jika perintah sebelumnya adalah 1. Output dari instruksi ini akan aktif jika <i>present value</i> bernilai 0

Sumber : (Ladder Logic World, 2020)

Perlu diketahui bahwa penjelasan simbol diatas hanyalah bagian dasar dari diagram tangga, sebenarnya masih banyak lagi simbol-simbol sesuai dengan modelnya.

2.6 Omron – CX- One

Kata Omron sangatlah sering didengar di dunia pemrograman otomatis seperti PLC. Omron adalah sebuah perusahaan yang bergerak di bidang otomasi, elektronika serta sistem lainnya di bidang industri maupun maritim. Dengan tingkat pengetahuan dan eksekusinya dibidang tersebut terbentuk bermacam-macam produk yang membantu manusia, seperti PLC. Salah satu software pemrograman yang disajikan oleh perusahaan tersebut ada CX-One.

CX-One adalah sebuah software yang mengintegrasikan PLC dan berbagai perangkat lunak dan jaringan sesuai dengan ekspansi dari program tersebut. Tidak hanya itu, banyak fitur-fitur yang terdapat didalamnya dan saling menunjang kebutuhan tiap software tersebut.

CX-Programmer menawarkan upaya merancang skenario ladder diagram suatu sistem otomasi yang ingin dibuat, dengan bantuan software lain seperti CX-Designer dan CX-Simulator yang menunjang kegiatan tersebut.



Gambar 2.12 CX-One dalam alat terpadu perangkat lunak
Sumber : (Omron Industrial Automation, 2017)

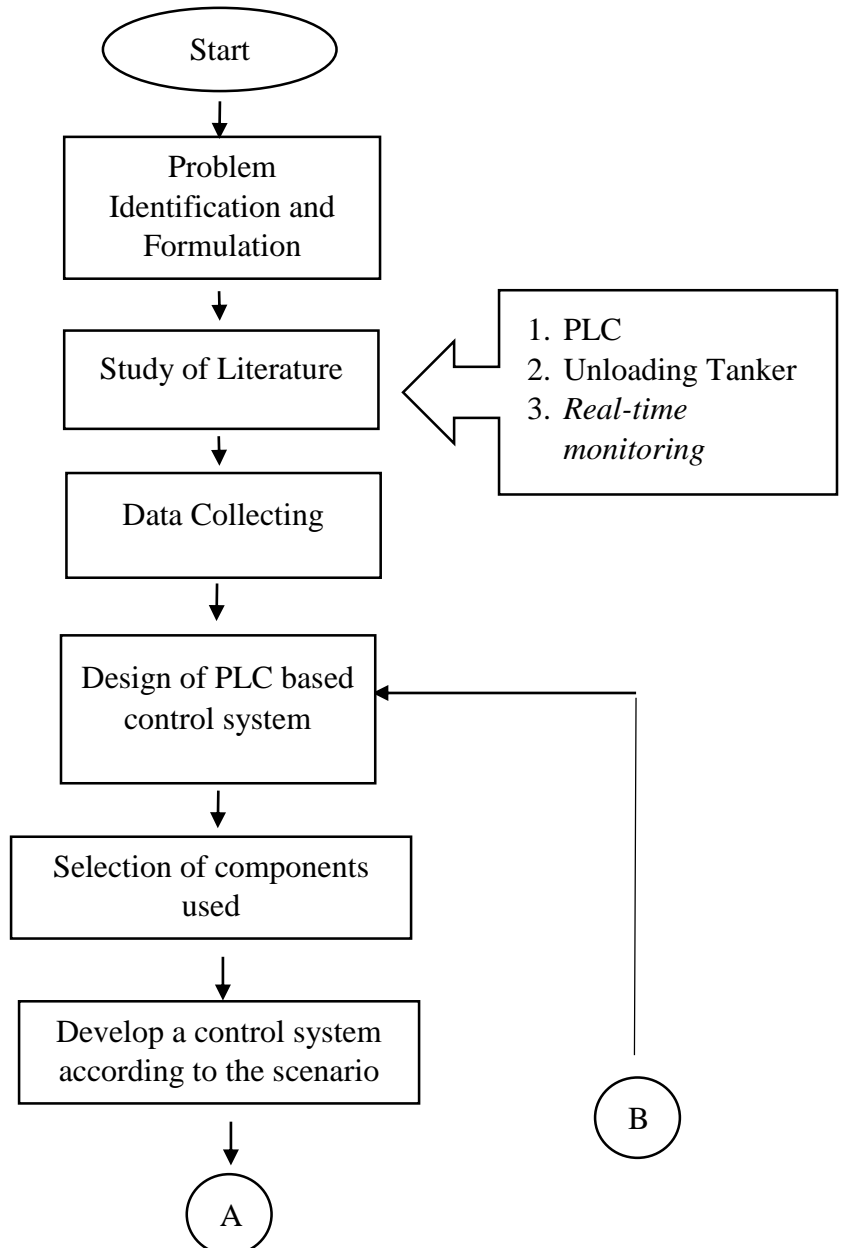
Keseluruhan fitur yang ditawarkan sangatlah berguna dan berdampak baik di dunia industri karena dirasa sangat membantu kemajuan perusahaan di bidang yang dijalankan serta dengan mudahnya mengeksekusi kemungkinan dari sistem otomasi yang ingin dipasangkan, timbal balik yang sangat cepat dan akurat, serta cepat terkendali.

“Halaman ini sengaja dikosongkan”

BAB 3

METODE PENELITIAN

Supaya memudahkan pengerjaan proposal dan kajian yang dilakukan terarah, maka dalam pembuatan proposal dilakukan proses yang terstruktur sebagai berikut :



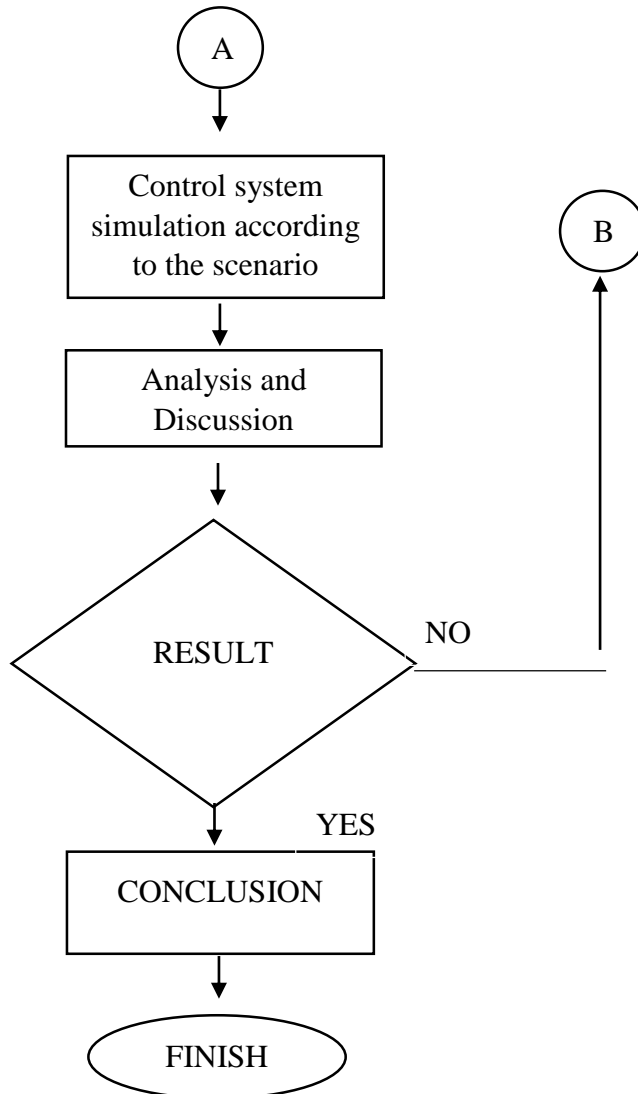


Fig. 3.1 Research Flowchart
 Sumber : (Personal, 2020)

3.1 Identifikasi Dan Perumusan Masalah

Tahap pertama yang dilakukan dalam pengerjaan proposal ini adalah identifikasi dan perumusan masalah. Proses penelitian ini berdasarkan latar belakang masalah, juga berdasarkan masalah dan tujuan penelitian. Dalam proposal ini masalah utama adalah bagaimana mengetahui apakah dengan merancang sistem kontrol dan *monitoring* berbasis PLC sangatlah efektif dan memiliki performa yang baik dibandingkan dengan operasi manual pada saat *Loading Unloading*.

3.2 Studi Literatur

Studi pustaka adalah proses yang dilakukan untuk mencari informasi tentang masalah yang akan dibahas. Informasi bisa berasal dari penelitian yang sudah pernah ada, berita – berita yang telah tervalidasi dan hasil tugas akhir yang telah selesai. Tentunya yang sesuai dengan topik masalah yang akan dibahas dalam proposal ini yaitu tentang sistem kontrol berbasis PLC pada proses *Loading Unloading* pada kapal tanker.

3.3 Pengumpulan Data

Pada tugas akhir ini dibutuhkan beberapa data pendukung yang dapat menunjang proses untuk menyelesaikan tugas akhir. Data yang diperoleh nantinya akan diolah untuk bisa menjadi acuan perancangan sistem kontrol PLC. Beberapa data yang dibutuhkan seperti P&ID dari sistem *Loading Unloading* pada kapal tanker.

3.4 Desain dari sistem kontrol berbasis PLC

Desain model dirancang untuk membuat bentuk model sesuai dengan desain dan kebutuhan. Tahap ini adalah tahap untuk memprogram PLC sesuai dengan kebutuhan semua sensor dan komponen lainnya untuk bekerja dengan baik. Pada tahap ini juga membuat struktur atau diagram pada sistem tersebut untuk mencocokkan *hardware* dan pengarahannya ke pusat kontrol dan monitoring. PLC sebagai logic kit, pemrograman tersebut menggunakan CX-programmer

3.5 Pemilihan komponen yang digunakan

Membuat dan merancang suatu sistem pasti membutuhkan perangkat lunak atau komponen yang sesuai untuk menunjang sistem tersebut. Sebelum memulai simulasi sistem kontrol PLC, komponen yang akan digunakan harus dipilih dengan baik.

3.6 Menyusun sistem kontrol sesuai skenario

Proses ini adalah proses perancangan atau pengaturan semua komponen yang telah dipilih pada tahap sebelumnya. Perakitan ini mencakup pemasangan semua komponen yang berperan dalam sistem kontrol ini. Instalasi ini disusun secara hati-hati agar sistem dapat berjalan dengan baik dan tidak ada kesalahan atau hubungan pendek ke masing-masing peralatan.

3.7 Simulasi sistem kontrol sesuai dengan skenario

Setelah model selesai, perlu dilakukan pengujian apakah simulasi yang dirancang dapat bekerja sesuai dengan desain yang telah dibuat dan bekerja dengan baik atau tidak

3.8 Analisa dan Diskusi

Langkah ini adalah untuk menganalisis data dari hasil simulasi yang telah dijalankan. Data-data yang didapat seperti waktu yang dibutuhkan untuk sensor membuat respons, dan waktu yang dibutuhkan untuk PLC dapat memproses respons dari sensor aliran.

3.9 Result

Langkah ini merupakan hasil yang diperoleh setelah proses analisa dan diskusi dari uji coba model sebelumnya. Apakah simulasi yang telah berlangsung ini berfungsi dengan baik atau tidak. Jika hasilnya tidak boleh, harus diulangi untuk merancang langkah sistem otomasi sebelum disimulasikan kembali.

3.10 Kesimpulan

Setelah dilakukan analisis data serta hasil yang diinginkan, pengambilan kesimpulan sangatlah penting untuk mengetahui apakah sistem ini tepat untuk diterapkan dalam proses *Loading Unloading* pada kapal tanker atau tidak.

“Halaman ini sengaja dikosongkan”

BAB 4

DATA PENELITIAN

- 1.
- 2.
- 3.
- 4.

4.1. Penjelasan Umum

Tugas akhir ini mengembangkan model sistem *unloading* pada Kapal Tanker dengan menggunakan PLC yang nanti akan diteruskan ke software CX-One untuk dieksekusi. Sebelum penulis membuat skenario dari tugas akhir ini, desain model ini harus dilakukan. Tujuan dari langkah ini adalah untuk memudahkan ketika penulis membuat model.

Software sistem monitoring yang disimulasikan untuk kapal tanker yang dibuat memiliki indikator di sistem yang terinstall di kapal tersebut serta komponen lainnya.

4.2. Rancangan Sistem Otomasi pada *Loading Unloading*

Proses loading unloading yang sudah dibicarakan sebelumnya adalah salah satu fungsi utama pada kapal tanker untuk dapat mendistribusikan minyak dari satu tangki ke tempat lainnya. Untuk dapat melakukan proses tersebut secara efisien, sistem kontrol yang dibuat dengan simulasi sebagai parameter keberhasilan sistem tersebut harus berjalan secara lancar agar sistem loading unloading bekerja secara maksimal dengan waktu yang sudah disetujui. Komponen dalam proses ini yaitu cargo pump, valve dan lain-lain yang berkaitan dengan sistem kargo serta keselamatan kapal yang di monitor oleh ABK yang bertanggung jawab atas proses tersebut.

Sistem otomasi yang dirancang juga digunakan sebagai pengatur pada proses bongkar muat kapal. Peralatan serta parameter yang dirancang dalam upaya untuk melancarkan proses bongkar muat adalah sebagai berikut :

4.2.1. Cargo Pump Switch Control

Komponen ini digunakan untuk menyalakan dan mematikan pompa kargo yang digunakan pada saat loading unloading kapal. Dalam hal ini, terdapat dua pompa yang dapat digunakan secara individual, tergantung dengan kebutuhan dari loading unloading kapal tersebut. Maka, switch ini dapat diatur dan disesuaikan dengan kapasitas yang dibutuhkan.

4.2.2. Cargo Valve Control

Komponen ini digunakan untuk memudahkan dalam mengatur aliran fluida yang akan didistribusikan pada tangki muatan. Pada rancangan ini,

valve dibuat atau disetel secara otomatis sesuai dengan data yang diperoleh dan digunakan dalam distribusi minyak yang telah ditentukan

4.2.3. Cargo Tank Level Indicator

Komponen ini adalah alat pengukur muatan yang disetel per tangki. Level indikator dapat digunakan sebagai pemberi info dari volume minyak yang dialirkan pada saat proses loading unloading.

4.2.4. Loading Unloading Timer

Komponen ini dibutuhkan untuk menjadi pencatat waktu yang bekerja selama proses loading unloading berlangsung.

4.2.5. Cargo Tank Level Alarm

Komponen ini berfungsi untuk memberi peringatan pada saat pengisian muatan jika sudah menyentuh level yang telah ditentukan.

4.2.6. Loading Unloading Switch Control

Komponen ini berkaitan dengan cargo control yang berguna untuk memulai proses loading atau proses unloading kapal.

4.2.7. Loading Unloading Rate Control

Loading Unloading Rate Control digunakan untuk mengatur kapasitas aliran muatan yang akan didistribusikan pada tiap tangki dan diatur sesuai yang dibutuhkan. Pengaturan Loading Unloading pada kapal tanker didasarkan oleh kebutuhan waktu bongkar muat yang dibutuhkan atau sudah direncanakan oleh kapal tersebut

4.3. MT.Zenith Cargo Oil System Specification

4.3.1. Pump Specification

Cargo Oil Pump	
Jumlah	: 2 Set
Type	: Electric Driven Motor, Single Stage Vertical
Pump, Horizontal Suction	
Kapasitas	: 570 m ³ / hr

4.3.2. Cargo Piping

Sistem kargo pada kapal MT.Zenith dirancang untuk memuat jenis muatan yang sama, maka hanya ada satu jenis muatan yang ada pada kapal dengan jenis minyak white oil.

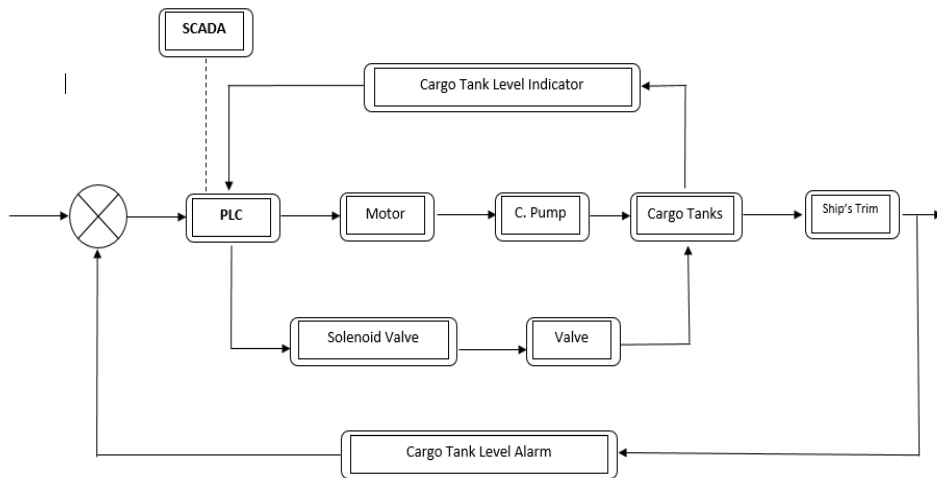
Pengelompokan tangki dan pompa adalah sebagai berikut :

1. No.1 COT Pump : For Portside Activity
2. No.2 COT Pump : For Starboard Activity

Akan tetapi, pompa tetap dapat mencover satu sama lain jika terjadi kendala yang tidak diinginkan

4.4. Desain Sistem Kontrol

Langkah yang harus dilakukan sebelum melanjutkan ke PLC adalah dengan melakukan analisis dengan cara menurunkan model yang dirancang kedalam blok diagram. Dengan begitu, komponen dapat bekerja sesuai dengan alur sistem yang diinginkan dan mempermudah pembuatan dari sistem.



Gambar 4.1 Diagram Blok Sistem Kontrol pada Loading Unloading kapal Tanker

Sumber : (Priyadi, 2020)

Pada Gambar 4.1, feedback yang diterima dari sistem yang dirancang adalah feedback berupa alarm yang menandakan bahwa pengisian telah selesai. Dengan alarm yang menyala, komponen tersebut akan sekaligus menjadi parameter untuk PLC untuk mematikan semua sistem control yang mengatur jalannya proses bongkar muat kapal tersebut.

4.5. Pengalaman pada PLC

4.5.1. Simulasi 1 Tangki (Loading - Unloading)

Setiap komponen atau peralatan yang terdapat pada PLC mempunyai alamat tersendiri dan spesifik. Program yang dijalankan oleh PLC berisi perintah membaca “data” pada alamat input dari ladder diagram yang dibuat, memproses “data” tersebut, dan memberikan “data” yang tadi diolah ke output. Jika perintah tersebut salah setelah di proses, maka terjadi ketidaksesuaian yang dihubungkan.

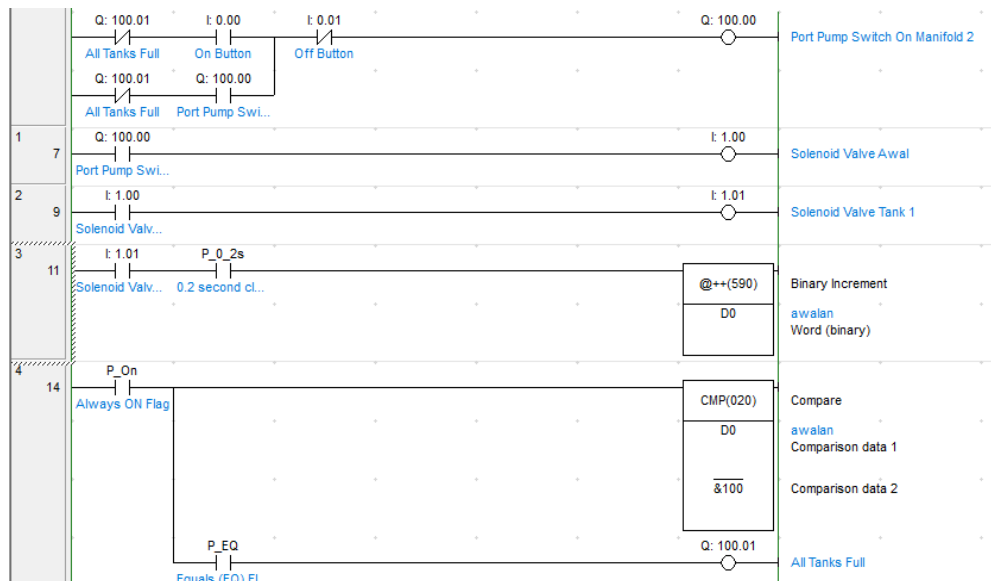
Daftar peralatan Input dan Output PLC yang telah dirancang adalah dapat dilihat pada table 4.1

Table 4-1 Input dan Output PLC

NO	Nama	Address
1	Switch On Pompa 1	0.00
2	Switch Off Pompa 1	0.01
3	Solenoid Valve In	1.00
4	Solenoid Valve Tank 1	1.01
5	Solenoid Valve Out (Before Pump)	1.02
6	Non Return Solenoid Valve	1.03
7	Level Indicator High	100.04
8	Level Indicator Low	100.05
9	Pompa 1	100.00
10	Pompa 2	100.03

Selanjutnya, tahap ini dilakukan untuk membuat desain *ladder diagram* yang dimana sesuai dengan diagram blok yang telah menjadi analisis model untuk menurunkan modelnya agar memudahkan pengerjaan.

Dalam perancangan ini, akan dilakukan pengujian dengan 1 tangki dimana tangki tersebut dapat melakukan distribusi fluida yang diatur oleh pompa dan proses *loadingnya*. Berikut hasil dari *ladder diagram* yang telah dirancang dengan kondisi tersebut.

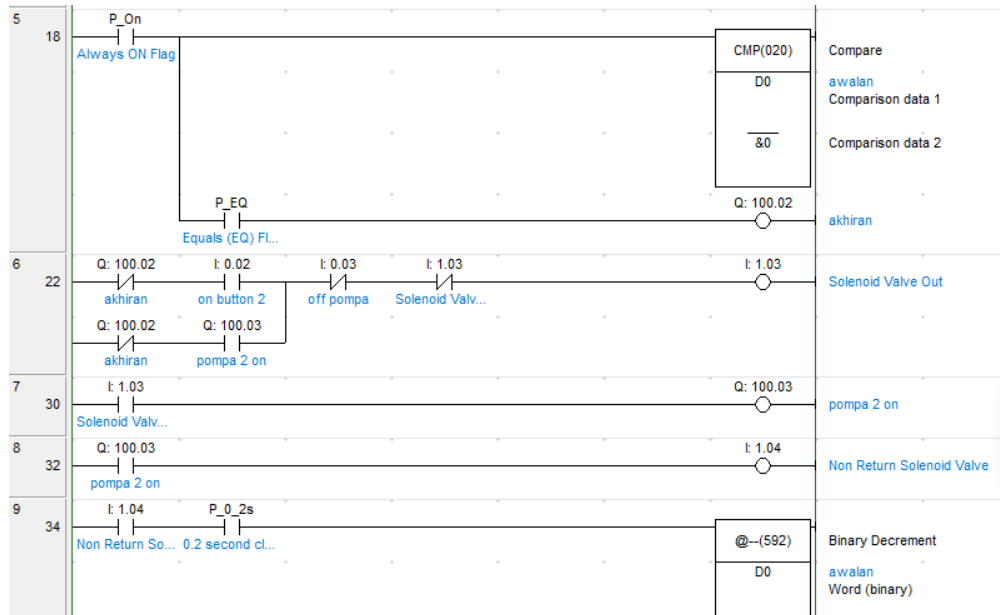


Gambar 4.2 Diagram Tangga Sistem Kontrol pada 1 Tangki
Sumber : (Pribadi, 2020)

Pada Gambar 4.2, *ladder diagram* yang dibuat adalah saat kondisi PLC menerima respon tetapi pompa dalam keadaan mati serta kondisi tangki kosong. Pada saat switch start dinyalakan, pompa akan menyala dan fluida akan masuk mengisi tangki sesuai dengan volume.

Pada saat On button pada *address 0.00* dinyalakan, input akan mengalir melewati system tersebut dan memberikan output kepada pompa dengan *address 100.00*, setelah itu input akan terus berlanjut ke solenoid valve awal yang mana merupakan katup pertama kali sebelum memasuki tangki. Lalu berlanjut ke solenoid valve tangki 1.

Tiap-tiap tangki akan memiliki solenoid valve tersendiri. *Binary Increment function* yang terdapat pada system berfungsi untuk menghitung angka biner yang sudah di setel pada saat perhitungan pompa. Lalu fungsi *Compare* digunakan untuk menyetel agar inputan yang diinginkan dapat sesuai dengan output yang dibutuhkan, dalam hal ini adalah kapasitas tangki cargo pada kapal tersebut. Jika sudah memenuhi outputan atau tangki cargo sudah penuh, pompa akan mati secara otomatis



Gambar 4.3 Diagram Tangga Sistem Kontrol pada 1 Tangki pada Proses Unloading

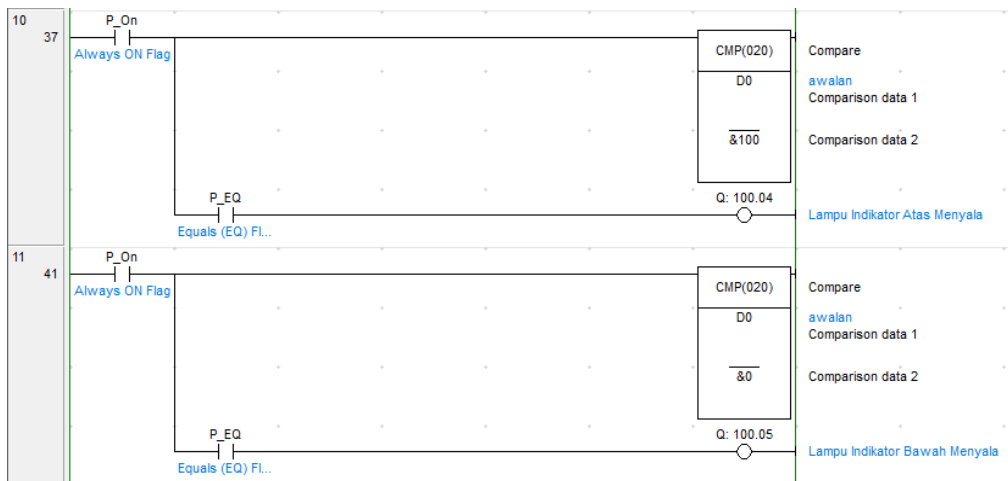
Sumber : (Pribadi, 2020)

Setelah melakukan simulasi sesuai dengan ladder diagram yang ditunjukkan pada Gambar 4.3, proses kedua yang dilakukan ada proses *unloading* kapal. Proses ini adalah proses pengeluaran muatan pada tangki cargo untuk disalurkan ke dermaga atau tangki reservoir.

Tangki cargo akan memulai proses *unloading* dengan cara menekan tombol “*Drain*” yang ada pada simulasi, yang mana akan menyalakan

tombol ON pada pompa 2 yang nantinya akan memulai proses discharge tangki cargo kapal menuju reservoir. Muatan akan melewati solenoid valve tangki, melewati solenoid valve sebelum pompa, dan menuju ke pompa. Dari pompa kapal dengan kapasitas yang sudah diperhitungkan, muatan akan *terdischarge* oleh pompa, melewati *non return solenoid valve*, lalu menuju reservoir.

Selama proses *unloading berlangsung*, muatan dalam tangki cargo akan berkurang sampai habis. Di dalam tangki terdapat indikator bawah yang mana akan memberikan informasi bahwa tangki tersebut sudah tidak lagi memiliki muatan didalamnya.

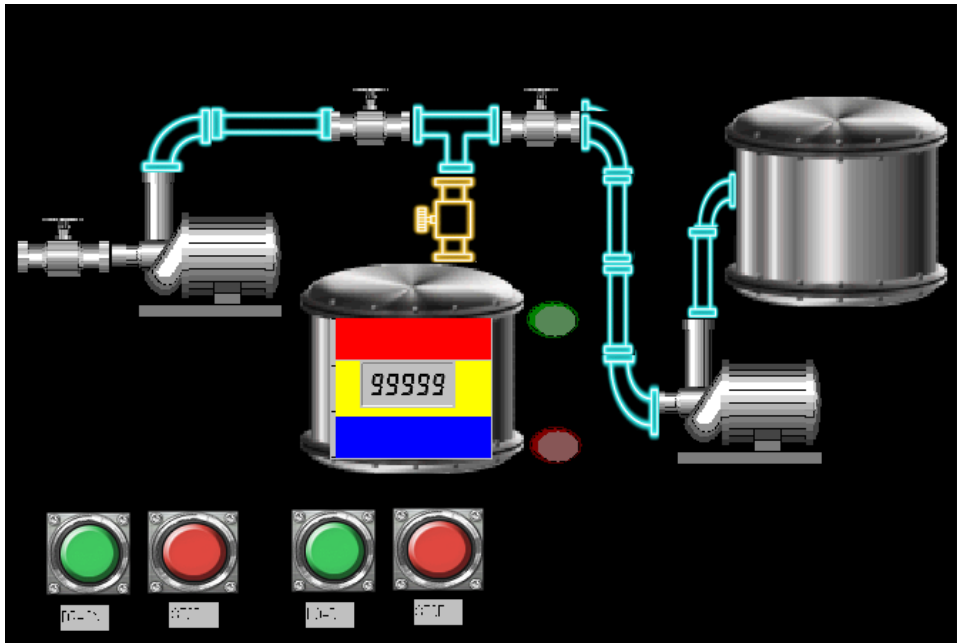


Gambar 4.4 Diagram Tangga Sistem Kontrol pada 1 Tangki sebagai Indikator

Sumber : (Pribadi, 2020)

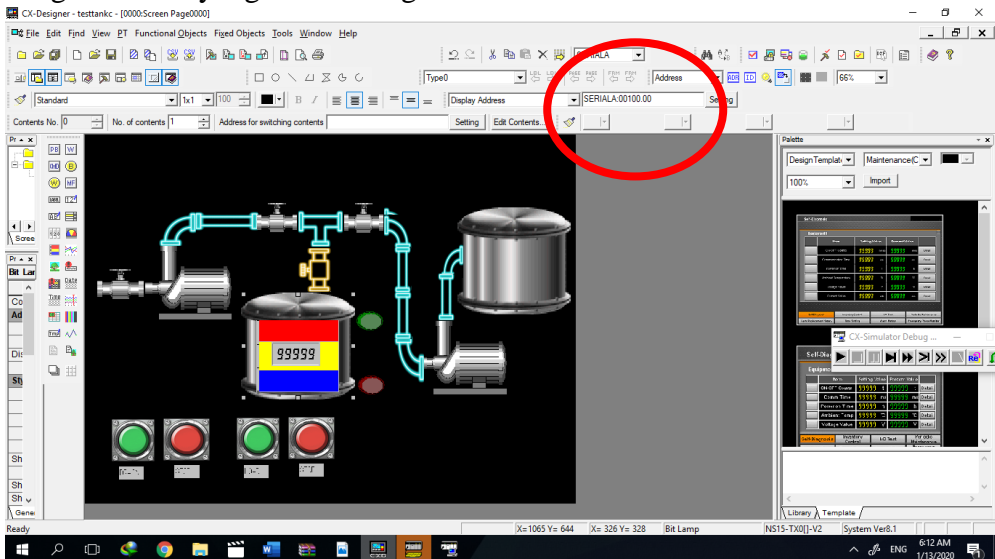
. Level indicator atas dan bawah akan memantau volume yang terisi ke dalam tangki tersebut. Jika sudah mencapai volume yang diinginkan, alarm akan menyala dan pompa akan mati secara otomatis.

Dari hasil *Ladder Diagram* yang ditunjukkan pada Gambar 4.2 dan Gambar 4.3, dapat disimulasikan dengan CX- Simulator. Sebelum dimulainya simulasi, perlu melakukan perancangan desain pada soft CX- Designer untuk melakukan pembuatan model dan penyesuaian dari komponen sesuai dengan alamatnya.



Gambar 4.5 Perancangan Desain untuk Simulasi pada CX - Designer
 Sumber : (Priyadi, 2020)

Setelah membuat desain yang mana menggambarkan sistem yang telah dibuat sebelumnya, selanjutnya adalah dengan menamai tiap komponen dengan alamat yang sesuai dengan table 4.1.



Gambar 4.6 Penyesuaian alamat pada komponen sesuai alamat
 Sumber : (Priyadi, 2020)

Jika komponen yang ada telah sesuai dengan alamat yang tertera dengan *ladder diagram* yang dibuat, maka simulasi bisa dijalankan. Pada kasus ini, Simulasi menggunakan CX – Simulator sebagai percobaan.

4.5.2. Simulasi 10 Tangki Kapal (*Loading – Unloading*)

Penerapan yang dilakukan kurang lebih sama, dan setiap komponen atau peralatan yang terdapat pada PLC mempunyai alamat tersendiri dan spesifik. Program yang dijalankan oleh PLC berisi perintah membaca “data” pada alamat input dari ladder diagram yang dibuat, memproses “data” tersebut, dan memberikan “data” yang tadi diolah ke output. Jika perintah tersebut salah setelah di proses, maka terjadi ketidaksesuaian yang dihubungkan.

Daftar peralatan Input dan Output PLC yang telah dirancang adalah dapat dilihat pada table 4.2 dan 4.3.

Table 4-2 Input PLC

NO	Nama	Address
1	Switch On Pompa 1 (Port)	0.00
2	Switch Off Pompa 1 (Port)	0.01
3	Switch On Pompa 2 (Port)	0.02
4	Switch Off Pompa 2 (Port)	0.03
5	Switch On Pompa Kargo 1	0.04
6	Switch Off Pompa Kargo 1	0.05
7	Switch On Pompa Kargo 2	0.06
8	Switch Off Pompa Kargo 2	0.07

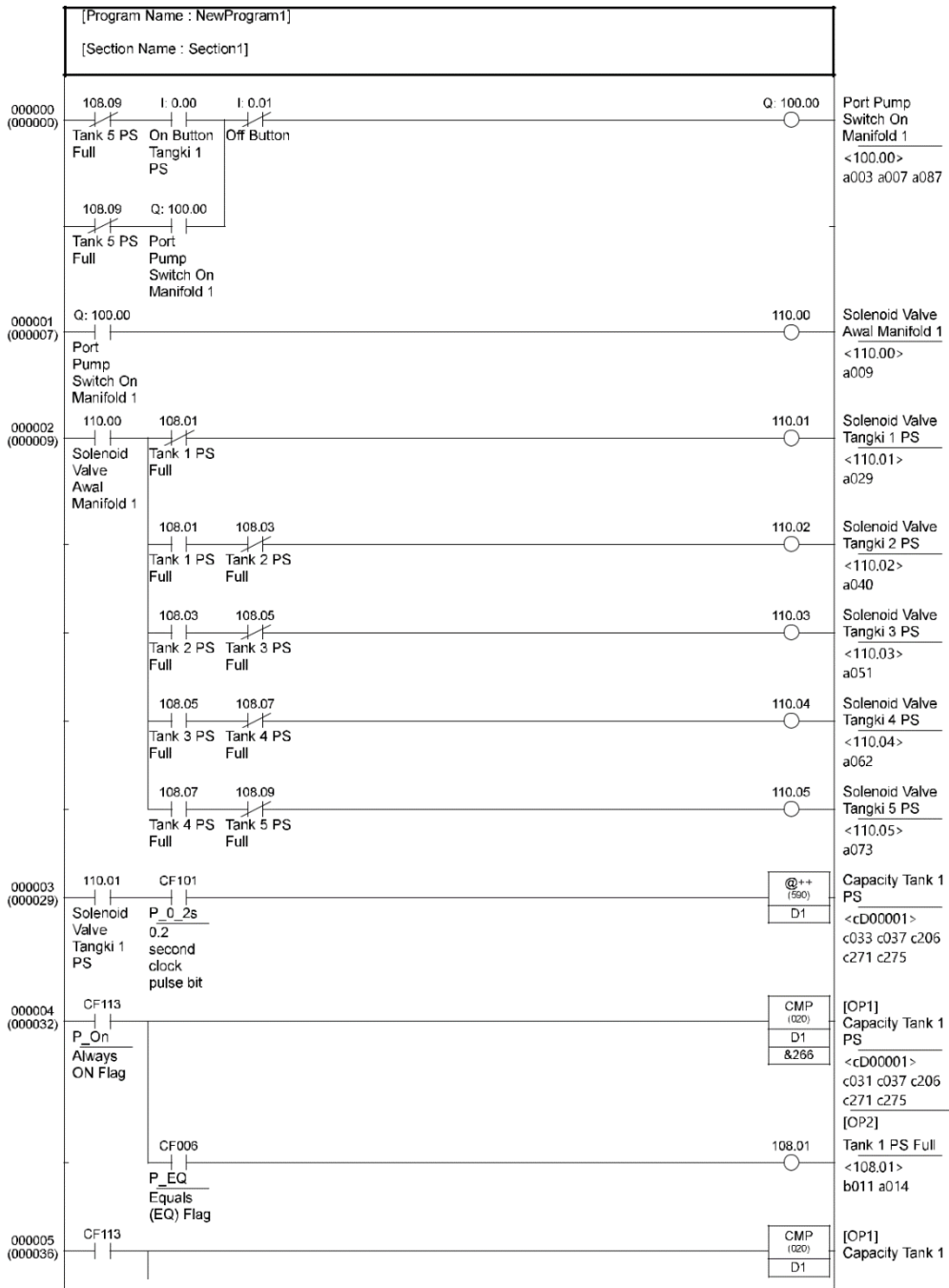
Table 4-3 Output PLC

NO	Nama	Address
1	Solenoid Valve Awal Manifold 1	1.00
2	Solenoid Valve Awal Manifold 2	2.00
3	Solenoid Valve Tangki 1 PS	110.0
4	Solenoid Valve Tangki 1 SB	111.0
5	Solenoid Valve Tangki 2 PS	110.2
6	Solenoid Valve Tangki 2 SB	111.2
7	Solenoid Valve Tangki 3 PS	110.3
8	Solenoid Valve Tangki 3 SB	111.3
9	Solenoid Valve Tangki 4 PS	110.4
10	Solenoid Valve Tangki 4 SB	111.4
11	Solenoid Valve Tangki 5 PS	110.5
12	Solenoid Valve Tangki 5 SB	111.5
13	Solenoid Valve Before Pump 1	1.06
14	Solenoid Valve Before Pump 2	2.06

15	Non Return Solenoid Valve Pump 1	1.07
16	Non Return Solenoid Valve Pump 2	2.07
17	Level Indicator High Tangki 1 PS	105.0
18	Level Indicator Low Tangki 1 PS	106.0
19	Level Indicator High Tangki 1 SB	105.1
20	Level Indicator Low Tangki 1 SB	106.1
21	Level Indicator High Tangki 2 PS	105.2
22	Level Indicator Low Tangki 2 PS	106.2
23	Level Indicator High Tangki 2 SB	105.3
24	Level Indicator Low Tangki 2 SB	106.3
25	Level Indicator High Tangki 3 PS	105.4
26	Level Indicator Low Tangki 3 PS	106.4
27	Level Indicator High Tangki 3 SB	105.5
28	Level Indicator Low Tangki 3 SB	106.5
29	Level Indicator High Tangki 4 PS	105.6
30	Level Indicator Low Tangki 4 PS	106.6
31	Level Indicator High Tangki 4 SB	105.7
32	Level Indicator Low Tangki 4 SB	106.7
33	Level Indicator High Tangki 5 PS	105.8
34	Level Indicator Low Tangki 5 PS	106.8
35	Level Indicator High Tangki 5 SB	105.9
36	Level Indicator Low Tangki 5 SB	106.9

Selanjutnya, tahap ini dilakukan untuk membuat desain *ladder diagram* yang dimana sesuai dengan diagram blok yang telah menjadi analisis model untuk menurunkan modelnya agar memudahkan pengerjaan.

Dalam perancangan ini, akan dilakukan pengujian secara keseluruhan tangki dimana tangki keseluruhan tersebut dapat melakukan distribusi fluida yang diatur oleh pompa dan proses *loadingnya*. Berikut hasil dari *ladder diagram* yang telah dirancang dengan kondisi tersebut.

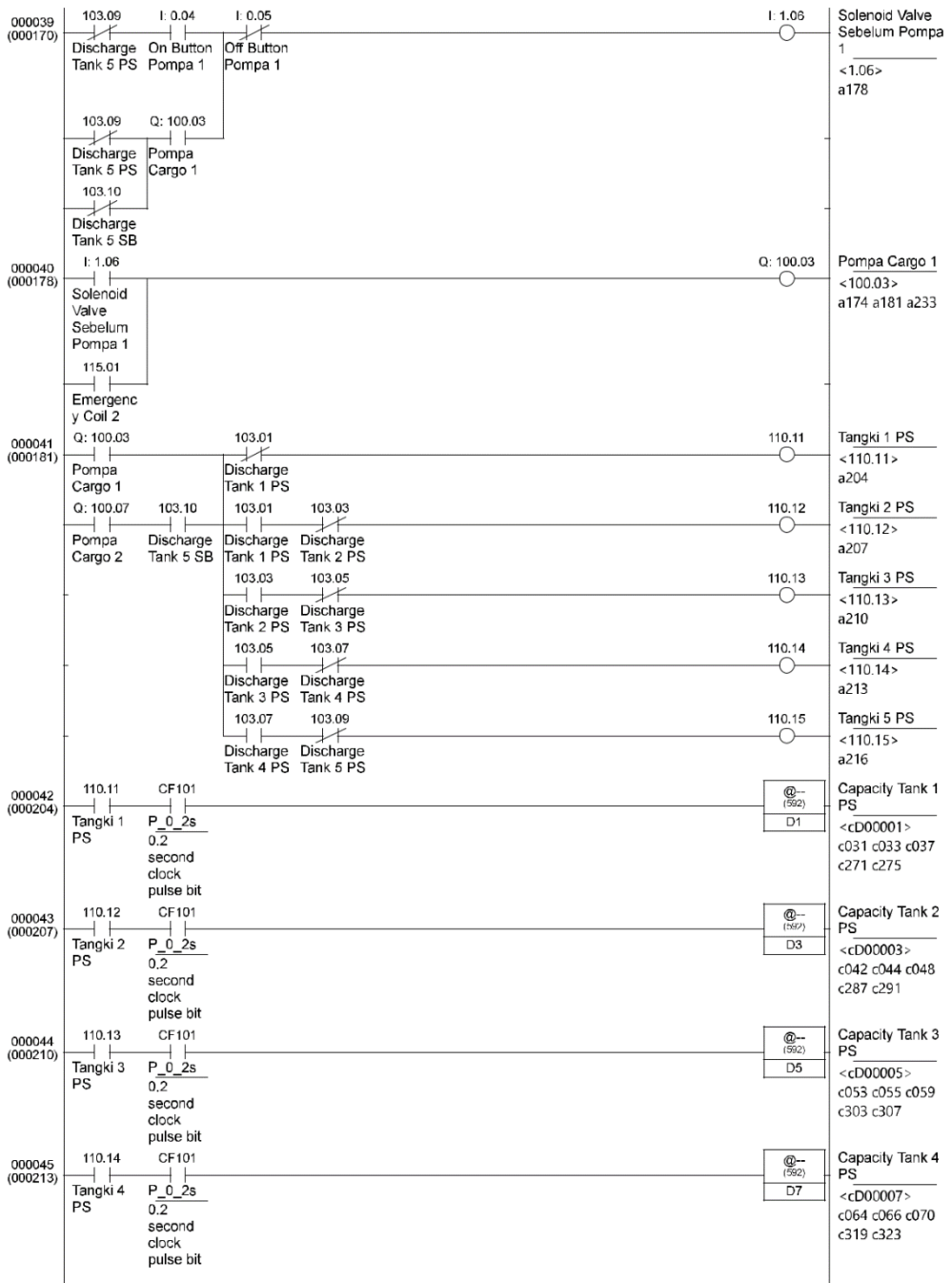


Gambar 4-7 Diagram Tangga Sistem Kontrol pada keseluruhan tangki
Sumber : (Pribadi, 2020)

Pada gambar 4-7 yang dibuat adalah saat kondisi PLC menerima respon tetapi pompa dalam keadaan mati serta kondisi tangki kosong. Pada saat switch start dinyalakan, pompa akan menyala dan fluida akan masuk mengisi tangki sesuai dengan volume.

Pada saat On button pada *address 0.00* dinyalakan, input akan mengalir melewati system tersebut dan memberikan output kepada pompa dengan *address 100.00*, setelah itu input akan terus berlanjut ke solenoid valve awal yang mana merupakan katup pertama kali sebelum memasuki tangki. Lalu berlanjut ke solenoid valve tangki 1.

Masing-masing tangki sudah memiliki solenoid valve tersendiri dengan berbagai variasi dari system otomasi yang dibuat. Sama seperti sebelumnya, *Binary Increment function* yang terdapat pada system berfungsi untuk menghitung angka biner yang sudah di setel pada saat perhitungan pompa. Lalu fungsi *Compare* digunakan untuk menyetel agar inputan yang diinginkan dapat sesuai dengan output yang dibutuhkan, dalam hal ini adalah kapasitas tangki cargo pada kapal tersebut. Jika sudah memenuhi output-an dalam satu tangki, solenoid valve akan tertutup sesuai dengan telah dilogikakan pada *ladder diagram* lalu valve selanjutnya akan membuka untuk mengisi tangki selanjutnya.



Gambar 4.8 Diagram Tangga Sistem Kontrol pada 1 Tangki pada Proses Unloading

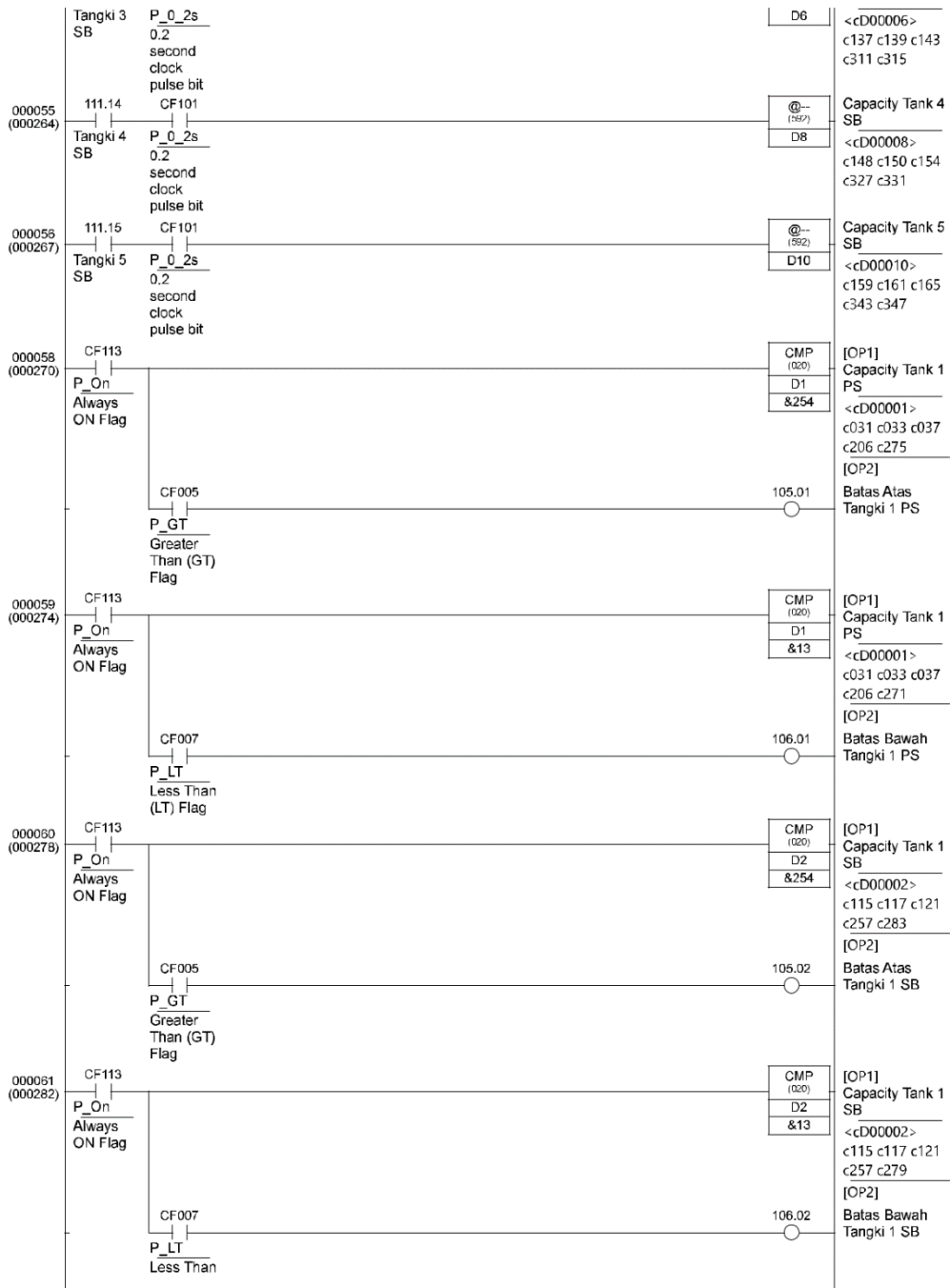
Sumber : (Priadi, 2020)

Setelah melakukan simulasi sesuai dengan ladder diagram yang ditunjukkan pada Gambar 4-7, proses kedua yang dilakukan adalah proses

unloading kapal. Proses ini adalah proses pengeluaran muatan pada tangki cargo untuk disalurkan ke dermaga atau tangki reservoir.

Simulasi yang sama seperti yang dilakukan sebelumnya, tangki cargo akan memulai proses *unloading* dengan cara menekan tombol “*Drain*” yang ada pada simulasi, yang mana akan menyalakan tombol ON pada kedua pompa yang beroperasi di dalam kapal secara bersamaan, yang nantinya akan memulai proses discharge tangki cargo kapal menuju reservoir. Muatan akan melewati solenoid valve tangki, melewati solenoid valve sebelum pompa, dan menuju ke pompa yang sesuai dengan scenario *ladder diagram* pada Gambar 4.8. Dari pompa kapal dengan kapasitas yang sudah diperhitungkan, muatan akan *terdischarge* oleh pompa, melewati *non return solenoid valve*, lalu menuju reservoir. Jika dalam satu tangki sudah menunjukkan angka NOL (0), maka solenoid valve akan menutup lalu terbuka solenoid valve selanjutnya yang akan memulai proses *unloading*.

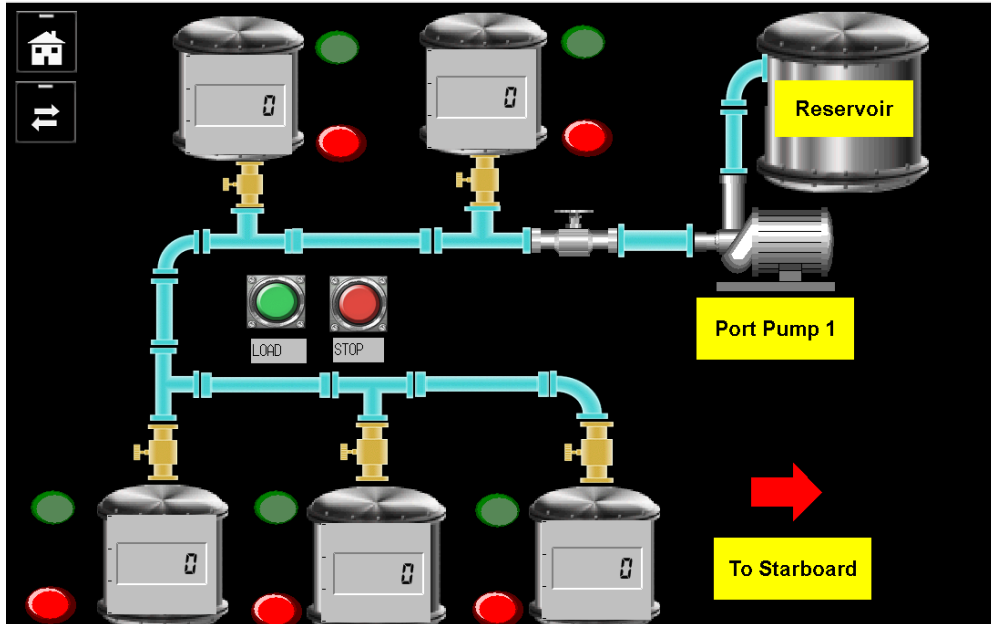
Selama proses *unloading* berlangsung, muatan dalam tangki cargo akan berkurang sampai habis. Di dalam tangki terdapat indikator bawah yang mana akan memberikan informasi bahwa tangki tersebut sudah tidak lagi memiliki muatan didalamnya.



Gambar 4.9 Diagram Tangga Sistem Kontrol pada Keseluruhan Tangki sebagai Indikator
Sumber : (Pribadi, 2020)

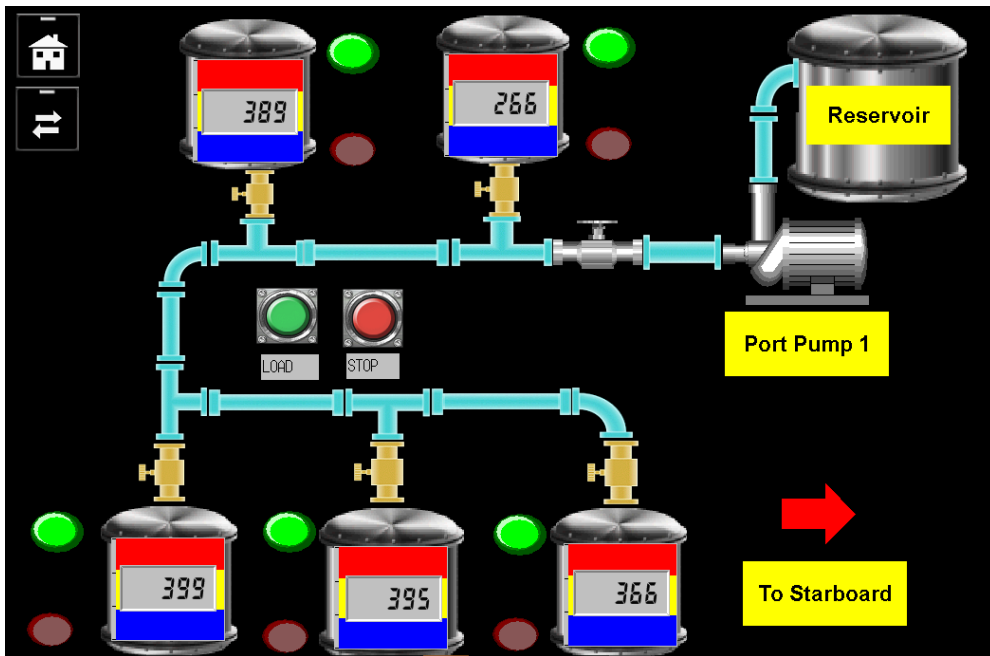
. Level indicator atas dan bawah akan memantau volume yang terisi ke dalam tangki tersebut. Jika sudah mencapai volume yang diinginkan, alarm atau indicator atas atau bawah akan menyala dan pompa akan mati secara otomatis.

Dari hasil *Ladder Diagram* yang ditunjukkan pada Gambar 4-7 dan Gambar 4.8, dapat disimulasikan dengan CX- Simulator. Sebelum disimulasikan, perlu dilakukan pembuatan desain pada CX-Designer untuk melakukan pembuatan model dan penyesuaian dari komponen sesuai dengan alamatnya.



Gambar 4.10 Perancangan Desain Simulasi Pada CX – Designer Proses Loading pada posisi kosong
Sumber : (Pribadi, 2020)

Setelah membuat desain yang mana menggambarkan sistem yang telah dibuat sebelumnya, selanjutnya adalah dengan menamai tiap komponen dengan alamat yang sesuai dengan table 4.3 dan 4.4.

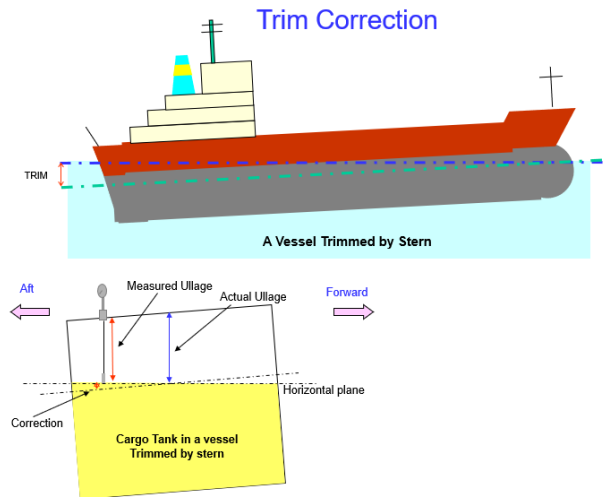


Gambar 4.11 Perancangan Desain Simulasi Pada CX – Designer Proses Loading pada Kondisi Penuh
Sumber : (Pribadi, 2020)

Jika komponen yang ada telah sesuai dengan alamat yang tertera dengan *ladder diagram* yang dibuat, maka simulasi bisa dijalankan. Pada kasus ini, Simulasi menggunakan CX – Simulator sebagai percobaan. Sesuai dengan gambar 4.11, seluruh tangki pada sisi portside terlihat penuh, menandakan sistem otomatisasi berjalan dengan lancar.

Pengisian fluida kedalam cargo juga memiliki aturan sesuai dengan yang telah disepakati dan sesuai dengan kondisi kapal yang digunakan. Prioritas yang diajukan pada PT.Pertamina Marine MOR VI dan PT. Industri Kapal Industri kepada pihak kapal biasanya dilakukan dengan mengisi bagian depan kapal untuk membuat kapal berada pada posisi *evenkeel* atau tidak ada kemiringan di bagian haluan dan buritan kapal.

Pertimbangan prioritas tersebut menyesuaikan dengan stabilitas kapal yang digunakan, dengan adanya diskusi tersebut *piping system* yang terpasang sedemikian rupa pada kapal dapat berjalan sesuai yang diinginkan dan menghindari trim yang sangat berbahaya dan dapat membuat kapal patah karena sekat antara tangki yang terpaksa menahan beratnya cargo.



Gambar 4.12 Pengaruh Trim pada Tangki Cargo Kapal Loading pada Kondisi Penuh
(Sumber : Knowledge of Sea, 2018)

4.6. Analisa dan Diskusi

Analisa dan Diskusi digunakan untuk membandingkan kapal MT.Zenith sebagai objek percobaan system otomasi dengan kapal lainnya. Perhitungan dari bongkar muat beserta pompa adalah sebagai berikut :

Perhitungan instalasi bongkar muat dilakukan dengan terlebih dahulu mengetahui beberapa parameter sebagai berikut:

- Volume ruang pemuatan kapal (m³)
- Kecepatan fluida terencana (m / s)
- Pipa jenis baja karbon terpilih, Standar JIS:
 - Diameter dalam (mm)
 - Ketebalan (mm)
 - Diameter luar (mm)
 - Ukuran pipa nominal
 - Ketebalan minimum (mm)

Dari parameter di atas dapat dilihat:

$$\text{Volume Kargo} = 3572,24 \text{ m}^3$$

Kepadatan Kargo

$$\text{Kepadatan Minyak Pelumas} = 0,89 \text{ ton / m}^3$$

$$\text{Waktu Bongkar} = 8 \text{ Jam}$$

$$\text{Cargo Flow Velocity (VC)} = 2 \text{ m / s}$$

Jadi, sistem menggunakan sistem pipa cincin:

1. Tangki Portside disediakan oleh satu pompa
2. Tangki Starboard adalah persediaan oleh satu pompa

Jumlah Pompa Utama Cargo = 2 Unit

Kapasitas Pompa

COT Discharge (Q_e) = Volume Tangki Kargo (m^3 / jam)

Memuat waktu bongkar = 446,53 m^3 / jam

Kecepatan (v) = 2 m / s

Kapasitas per pompa = 0,5 x Q_e (m^3 / jam)

= 223.265 m^3 / jam

Data yang diberikan oleh PT. Pertamina MOR VI Balikpapan bahwa pompa yang disediakan adalah sekitar 400 m^3/jam . Hasil dari perhitungan pompa yang digunakan oleh kapal MT.Zenith memasuki angka yang disediakan oleh PT.Pertamina MOR VI Balikpapan, maka parameter instalasi yang dilakukan sangatlah cocok dengan yang tersedia.

4.6.1. Analisa dan Diskusi pada *Loading System*

Dilihat dari simulasi yang dijalankan sesuai dengan skenario loading system pada Gambar 4-7 dan Gambar 4.8, model dari skenario tersebut mampu digunakan dalam kedua kondisi. Akan tetapi, pada saat proses loading berlangsung, pompa yang tersedia dalam kapal tidak dirancang untuk melakukan hal tersebut. Proses loading dilakukan dengan pompa yang disediakan oleh pelabuhan.

Data kapal yang dipakai untuk menganalisa keuntungan dari sistem yang dipakai adalah data kapal yang terdapat pada *Jetty* PT.Pertamina MOR VI Balikpapan dan sesuai dengan ketentuan yang berlaku. Ketentuan yang digunakan oleh PT.Pertamina MOR VI Balikpapan dapat dilihat pada Gambar 4.13

PIC	AKTIFITAS	DISCHARGE (Jam)	LOADING (Jam)	IMPORT VESSEL (Jam)
MARINE	Vessel Arrival	1	1	1
KAPAL	Steaming in	4	4	4
ALL	Anchorage	0	0	0
MARINE	Berthing	1	1	1
MARINE	Quarantine Permit Clearance	1	1	1
LM - Marine	Sounding & Tank Calculation Before			
LM	Discharge Rate Negotiation - NOR accepted	1	1	2
LAB	Lab Test (Sampling)	3	3	
MARINE	Booking Pilot	6	6	
MARINE	Port Clearance	3	3	3
LM	Connecting loading hose/arm	0,5	0,5	0,5
KAPAL - TERMINAL	Discharging/Loading	JML MUATAN + STRIPPING TIME	JML MUATAN + STRIPPING TIME	JML MUATAN + STRIPPING TIME
LM	Disconnecting Loading Hose / Arm	0,5	0,5	0,5
LM - PQC	Sounding & Tank Calculation After	3,5	2,5	
LAB	Lab Test (Sampling)	2,5	2,5	
LM	Cargo Document	0,75	0,75	
MARINE	Ship Document & Pilot Notification	0,5	0,5	
MARINE	Unberthing	1	1	1
KAPAL	Steaming out	4	4	4

Gambar 4.13 Standar PT.Pertamina MOR VI Balikpapan
Sumber : (PT.Pertamina Marine Division MOR VI, 2020)

Sesuai dengan ketentuan yang tertera pada Gambar 4.13 dapat dilihat ketentuan yang dilaksanakan oleh perusahaan PT.Pertamina MOR VI terkait proses *loading* pada kapal. Diperlukan negosiasi antara pihak kapal dan perusahaan terkait seberapa besar *Discharge Rate* yang dapat ditanggung oleh kapal dalam proses tersebut. Setelah itu, dapat dilihat di bagian “kapal-terminal” yang memberikan informasi terkait waktu *loading* yang dibutuhkan kapal. Dapat dilihat pada Table 4-3 mengenai informasi kapal yang kurang lebih memiliki *payload* yang sama dengan kapal yang digunakan untuk penelitian.

Table 4-4 Data Kapal Pembanding PT. Pertamina MOR VI Untuk Proses Loading

NO.	NAMA KAPAL	GROSS TON	TIBA	BONGKAR	
			DARI	JENIS	
URUT		(GT)		Waktu Loading (Jam)	CAIR(kL)
1	MT.ZENITH	2,357	SBY	8	3,570,000
2	MT.KASIM	5,570	TAR	11	4,296,078
3	MT.ANDHIKA VIDYANATA	5,452	AMP	13	5,178,019
4	MT.ALICE XXV	3,060	DGA	9	3,258,764
5	MT.PLAJU	5,619	WAY	12	4,726,569
6	SPOB.ANINDHITA 81	2,999	SMD	10	3,952,563
7	MT.BUMI INDONESIA	5,183	DGA	14	5,500,379
8	SPOB.SEA ROYAL 27	4,198	SMD	10	3,981,512
9	BB.SAS 09	1,961	SRD	8	3,205,288
10	MT.KASIM	5,570	TAR	12	4,555,187
11	MT.GRACE POSEIDON	7,662	TTM	16	6,337,938
12	MT.ALICE XXV	3,060	DGA	9	3,519,576
13	MT.BALONGAN	5,573	TTM	14.5	5,747,706
14	MT.AE PIONEER	9,457	MKS	16	6,277,793
15	MT.ANDHIKA VIDYANATA	5,452	BNO	15	5,883,328
16	MT.BUMI INDONESIA	5,183	DGA	13.5	5,333,896
17	MT.PLAJU	5,619	WAY	15	5,883,437
18	SPOB.ANINDHITA 81	2,999	SRD	9	3,459,116
19	MT.MPMT XI	3,078	GOR	8	2,998,585
20	MT.ALICE XXV	3,060	DGA	9	3,485,731
21	MT.BUMI INDONESIA	5,183	DGA	14	5,437,641
22	SPOB.ANINDHITA 81	2,999	SRD	10	3,902,031
23	MT.PLAJU	5,619	WAY	15	5,868,684

Sesuai dengan Table 4-4 Table 4-4 Data Kapal Pembanding PT. Pertamina MOR VI Untuk Proses Loading waktu proses *loading* kapal yang terdapat pada *jetty* kapal tidak terlalu mempengaruhi proses *loading* kapal

dikarenakan pompa yang digunakan adalah pompa perusahaan yang memiliki tinggal *discharge rate* sekitar 400kL/jam. Maka, dalam segi ini keuntungan sistem hanya terpaut sekitar beberapa detik.

4.6.2. Analisa dan Diskusi pada *Unloading System*

Berbeda dengan sebelumnya, dapat dilihat dari simulasi yang dijalankan sesuai dengan skenario loading system pada Gambar 4-7 dan Gambar 4.8 model dari skenario tersebut mampu digunakan dalam kedua kondisi. Pada saat proses *unloading* berlangsung, pompa yang digunakan untuk melakukan proses tersebut adalah *cargo pump* yang telah tersedia dalam kapal, maka dengan acuan tersebut segala komponen sistem sudah di desain sesuai dengan kemampuan. Sistem yang di simulasikan dapat mengatur banyaknya kapasitas pompa yang diinginkan, dengan begitu biaya yang dibutuhkan dalam bongkar muat dapat diminimalkan.

Data kapal yang dipakai untuk menganalisa keuntungan dari sistem yang dipakai adalah data kapal yang terdapat pada *Jetty* PT.Pertamina MOR VI Balikpapan dan sesuai dengan ketentuan yang berlaku. Ketentuan yang digunakan oleh PT.Pertamina MOR VI Balikpapan dapat dilihat pada Gambar 4.14

PIC	AKTIFITAS	DISCHARGE (Jam)	LOADING (Jam)	IMPORT VESSEL (Jam)
MARINE	Vessel Arrival	1	1	1
KAPAL	Steaming in	4	4	4
ALL	Anchorage	0	0	0
MARINE	Berthing	1	1	1
MARINE	Quarantine Permit Clearance	1	1	1
LM - Marine	Sounding & Tank Calculation Before			
LM	Discharge Rate Negotiation - NOR accepted	1	1	2
LAB	Lab Test (Sampling)	3	3	
MARINE	Booking Pilot	6	6	
MARINE	Port Clearance	3	3	3
LM	Connecting loading hose/arm	0,5	0,5	0,5
KAPAL - TERMINAL	Discharging/Loading	JML MUATAN + STRIPPING TIME	JML MUATAN + STRIPPING TIME	JML MUATAN + STRIPPING TIME
LM	Disconnecting Loading Hose / Arm	0,5	0,5	0,5
LM - PQC	Sounding & Tank Calculation After	3,5	2,5	
LAB	Lab Test (Sampling)	2,5	2,5	
LM	Cargo Document	0,75	0,75	
MARINE	Ship Document & Pilot Notification	0,5	0,5	
MARINE	Unberthing	1	1	1
KAPAL	Steaming out	4	4	4

Gambar 4.14 Standar PT.Pertamina MOR VI Balikpapan
Sumber : (PT.Pertamina Marine Division MOR VI, 2020)

Sesuai dengan ketentuan yang tertera pada Gambar 4.14 dapat dilihat ketentuan yang dilaksanakan oleh perusahaan PT.Pertamina MOR VI terkait proses *loading* pada kapal. Diperlukan negosiasi antara pihak kapal dan perusahaan terkait seberapa besar *Discharge Rate* yang dapat ditanggung oleh kapal dalam proses tersebut. Setelah itu, dapat dilihat di bagian “kapal-terminal” yang memberikan informasi terkait waktu *loading* yang dibutuhkan kapal. Dapat dilihat pada Table 4-5 mengenai informasi kapal yang kurang lebih memiliki *payload* yang sama dengan kapal yang digunakan untuk penelitian.

Table 4-5 Data kapal pemanding PT. Pertamina MOR VI untuk proses Unloading

NO.	NAMA KAPAL	GROSS TON	TIBA	BONGKAR	
			DARI	JENIS	
URUT		(GT)		Waktu Loading (Jam)	CAIR(kL)
1	MT.ZENITH	2,357	SBY	8	3,570,000
2	MT.KASIM	5,570	TAR	11	4,296,078
3	MT.ANDHIKA VIDYANATA	5,452	AMP	12	5,178,019
4	MT.ALICE XXV	3,060	DGA	10	3,258,764
5	MT.PLAJU	5,619	WAY	12	4,726,569
6	SPOB.ANINDHITA 81	2,999	SMD	10	3,952,563
7	MT.BUMI INDONESIA	5,183	DGA	14	5,500,379
8	SPOB.SEA ROYAL 27	4,198	SMD	10	3,981,512
9	BB.SAS 09	1,961	SRD	7	3,205,288
10	MT.KASIM	5,570	TAR	11	4,555,187
11	MT.GRACE POSEIDON	7,662	TTM	15	6,337,938
12	MT.ALICE XXV	3,060	DGA	10	3,519,576
13	MT.BALONGAN	5,573	TTM	13	5,747,706
14	MT.AE PIONEER	9,457	MKS	16	6,277,793
15	MT.ANDHIKA VIDYANATA	5,452	BNO	15	5,883,328
16	MT.BUMI INDONESIA	5,183	DGA	13	5,333,896
17	MT.PLAJU	5,619	WAY	15	5,883,437
18	SPOB.ANINDHITA 81	2,999	SRD	9	3,459,116
19	MT.MPMT XI	3,078	GOR	8	2,998,585
20	MT.ALICE XXV	3,060	DGA	9	3,485,731
21	MT.BUMI INDONESIA	5,183	DGA	13	5,437,641
22	SPOB.ANINDHITA 81	2,999	SRD	10	3,902,031
23	MT.PLAJU	5,619	WAY	14	5,868,684

Sesuai dengan Table 4-5 waktu proses *unloading* kapal yang terdapat pada *jetty* kapal dapat mempengaruhi proses *unloading* kapal dikarenakan kapasitas pompa yang digunakan dapat diatur dengan mudahnya sesuai

dengan kemampuan yang dimiliki oleh *cargo pump* kapal. Maka, dalam segi ini keuntungan sistem otomasi sangat mempengaruhi waktu yang menjadi parameter bongkar muat kapal di suatu pelabuhan.

4.7.3 Analisa Keuntungan Sistem

Keunggulan dari system otomasi yang dirancang adalah sesuatu yang dapat menjadi nilai lebih dari system lainnya. Dengan memperhatikan beberapa aspek dapat menjadi nilai ketertarikan yang lebih besar. Table 4-6 dan 4-7 adalah scenario bongkar muat kapal dengan membandingkan system berbasis PLC dengan system lainnya,

Table 4-6 Skenario Perbandingan Waktu pada saat Loading

Skenario Perbandingan Waktu pada saat Loading dengan Memperhatikan Instalasi di Kapal				
Kapal	Jenis Pengaturan Valve	Waktu Switch Valve(detik)	Asumsi Kebutuhan Valve pada Sistem	Waktu Switch Valve Secara Menyeluruh (detik)
MT.ZENITH	PLC Based	0	11	0
MT.KASIM	Remote Valve	2	11	22
MT.ANDHIKA VIDYANATA			11	
MT.ALICE XXV			11	
MT.PLAJU			11	
MT.BUMI INDONESIA			11	
MT.GRACE POSEIDON			11	
MT.BALONGAN			11	
MT.AE PIONEER			11	
MT.MPMT XI			11	
SPOB.SEA ROYAL 27			11	
BB.SAS 09			11	
SPOB.ANINDHIT A 81			11	

Table 4-7 Skenario Perbandingan Jumlah dan Upah Crew per Tahun

Skenario Perbandingan Crew dan biaya pada saat Loading			
Kapal	Crew-Operator	Upah (per bulan)	Upah (per tahun)
MT.ZENITH	2	IDR 6,000,000.00	IDR 144,000,000.00
MT.KASIM	3	IDR 6,000,000.00	IDR 216,000,000.00
MT.ANDHIKA VIDYANATA	3	IDR 6,000,000.00	IDR 216,000,000.00
MT.ALICE XXV	3	IDR 6,000,000.00	IDR 216,000,000.00
MT.PLAJU	3	IDR 6,000,000.00	IDR 216,000,000.00
MT.BUMI INDONESIA	3	IDR 6,000,000.00	IDR 216,000,000.00
MT.GRACE POSEIDON	3	IDR 6,000,000.00	IDR 216,000,000.00
MT.BALONGAN	3	IDR 6,000,000.00	IDR 216,000,000.00
MT.AE PIONEER	3	IDR 6,000,000.00	IDR 216,000,000.00
MT.MPMT XI	3	IDR 6,000,000.00	IDR 216,000,000.00
SPOB.SEA ROYAL 27	3	IDR 6,000,000.00	IDR 216,000,000.00
BB.SAS 09	3	IDR 6,000,000.00	IDR 216,000,000.00
SPOB.ANINDHITA 81	3	IDR 6,000,000.00	IDR 216,000,000.00

Dapat diperhatikan pada table 4-5, Sistem otomasi yang dibuat dan dipasang pada kapal MT.Zenith sangatlah efektif jika dibandingkan dengan remote valve yang terpaut perbedaan 22 detik secara keseluruhan. Terlebih lagi jika membandingkan jumlah dan upah crew pada kapal yang bertanggung jawab atas dalam bongkar muat sesuai dengan table 4-6.

“Halaman Ini Sengaja Dikosongkan”

BAB 5

KESIMPULAN DAN SARAN

5.

5.1. Kesimpulan

Kesimpulan dari penelitian permodelan simulasi sistem bongkat muat yang telah dibuat adalah sebagai berikut :

- Hasil dari pengujian atau Analisa simulasi menggunakan software yang tertera diatas menghasilkan bahwa respon yang dihasilkan oleh system yang di skenarioakan dengan PLC secara keseluruhan lebih fleksibel dikarenakan minimnya pekerjaan manusia serta sangat efektif terhadap waktu jika dilihat dalam jangka waktu pnjang.
- Jika dianalisa dengan nalar, seharusnya akan lebih akurat jika variable yang menjadi sasaran *input* adalah kapasitas per satuan jam dari Q pompa yang tersedia dalam kapal.

5.2. Saran

Untuk menyempurnakan penelitian ini maka terdapat beberapa saran yang dapat dilakukan pada penelitian selanjutnya, antara lain :

1. Dikarenakan pada pengujian ini masih berskala laboratorium, maka perlu dilakukan kajian teknis lebih jauh mengenai sistem otomasi bongkat muat berbasis PLC, sehingga dapat digunakan untuk skala industri.
2. Perlu dilakukan kajian lebih lanjut mengenai penempatan sistem bongkar muat pada kapal yang akan digunakan. Selain itu juga diperlukan pengamatan atau penyesuaian lebih jauh mengenai sensor-sensor yang sesuai untuk skala industri
3. Dikarenakan pada pengujian atau simulasi ini tidak sama sekali mempertimbangkan *ballast water* yang ada pada kapal, maka perlu ditinjau lebih jauh lagi terkait *offloading* kapal akan kestabilan.

DAFTAR PUSTAKA

Novian I, Tandra. 2007 “Perancangan One Desk Monitoring System pada Loading Unloading Kapal Tanker” [skripsi]. Surabaya (ID): Institut Teknologi Sepuluh Nopember.

Setiawan, Iwan. 2006. Programmable Logic Controller dan Teknik Perancangan Sistem Kontrol. Semarang: Penerbit Andi Yogyakarta.

Eko, Agfianto 2007 “PLC.kosep pemrograman dan aplikasi”.

Muttaqin, Ilham. 2012. “Perancangan Aplikasi PLC Omron Sysmac CP1L pada Sistem Otomasi Ice Compactor untuk Pemadatan Ice Flag”, Semarang: Jurusan Teknik Elektro Universitas Diponegoro.

OMRON CP1L/CP1H Operation Manual

PP No. 51 th 2002 tentang Perkapalan

E.B. Priyanka, C. Maheswari, B. Meenakshipriya. 2015. Parameter Monitoring and Control during petrol transportation using PLC based PID Controller. Perundurai. Tamil Nadu, India. Kangu Engineering College.

E.B. Priyanka, C. Maheswari, B. S. Thangavel. 2018. Online Monitoring and Control of Flow Rate in Oil Pipelines Transportation System by using PLC based Fuzzy-PID Controller

Saputra, Ahmad Rizal. 2014. “*Design of ship’s automatic fire fighting system using programmable logic controller (PLC)*”. [skripsi]. Surabaya (ID): Institut Teknologi Sepuluh Nopember.

Prabowo, Nano. 2014. “Perancangan model otomatisasi sistem ballast berbasis plc dengan skala laboratorium”. [skripsi]. Surabaya (ID): Institut Teknologi Sepuluh Nopember.

“Halaman Ini Sengaja Dikosongkan”

LAMPIRAN

Spesifikasi Alat yang Digunakan dalam Simulasi dan Desain Diagram Ladder

■ **Lampiran 1**
Spesifikasi unit CPU Omron CP Series – CP1L

Item	Type Model	AC power supply models	DC power supply models
		CP1L-□□□-A	CP1L-□□□-D
Power supply		100 to 240 VAC 50/60 Hz	24 VDC
Operating voltage range		85 to 264 VAC	20.4 to 26.4 VDC
Power consumption		50 VA max. (CP1L-M60/M40/M30-□□-A) 30 VA max. (CP1L-L20/L14/L10-□□-A)	20 W max. (CP1L-EM40/EM30/M60/M40/M30-□□-D) 13 W max. (CP1L-EL20/L20/L14/L10-□□-D)
Inrush current *		100 to 120 VAC inputs: 20 A max. (for cold start at room temperature) 8 ms max. 200 to 240 VAC inputs: 40 A max. (for cold start at room temperature), 8 ms max.	30 A max. (for cold start at room temperature) 20 ms max.
External power supply		300 mA at 24 VDC (CP1L-M60/M40/M30-□□-A) 200 mA at 24 VDC (CP1L-L20/L14/L10-□□-A)	None
Insulation resistance		20 MΩ min. (at 500 VDC) between the external AC terminals and GR terminals	No insulation between primary and secondary for DC power supply
Dielectric strength		2,300 VAC at 50/60 Hz for 1 min between the external AC and GR terminals, leakage current: 5 mA max.	No insulation between primary and secondary for DC power supply
Noise immunity		Conforms to IEC 61000-4-4, 2 kV (power supply line)	
Vibration resistance		CP1L-L/M: Conforms to JIS C60068-2-6, 10 to 57 Hz, 0.075-mm amplitude, 57 to 150 Hz, acceleration: 9.8 m/s ² in X, Y, and Z directions for 80 minutes each. Sweep time: 8 minutes × 10 sweeps = total time of 80 minutes) CP1L-EL/EM: 5 to 8.4 Hz, 3.5 mm amplitude, 8.4 to 150 Hz, acceleration: 9.8 m/s ² in X, Y, and Z directions for 100 minutes each (time coefficient of 10 minutes × coefficient factor of 10 = total time of 100 minutes)	
Shock resistance		Conforms to JIS C60068-2-27, 147 m/s ² three times each in X, Y, and Z directions	
Ambient operating temperature		0 to 55°C	
Ambient humidity		10% to 90% (with no condensation)	
Ambient operating environment		No corrosive gas	
Ambient storage temperature		-20 to 75°C (Excluding battery)	
Power holding time		10 ms min.	2 ms min.

● CP1L CPU Unit (EM/EL Type)

Item	Type Models	CP1L-EM40 (40 points)	CP1L-EM30 (30 points)	CP1L-EL20 (20 points)
		CP1L-EM40□□□	CP1L-EM30□□□	CP1L-EL20□□□
Control method		Stored program method		
I/O control method		Cyclic scan with immediate refreshing		
Program language		Ladder diagram		
Function blocks		Maximum number of function block definitions: 128 Maximum number of instances: 256 Languages usable in function block definitions: Ladder diagrams, structured text (ST)		
Instruction length		1 to 7 steps per instruction		
Instructions		Approx. 500 (function codes: 3 digits)		
Instruction execution time		Basic instructions: 0.55 μs min. Special instructions: 4.1 μs min.		
Common processing time		0.4ms		
Program capacity		10K steps		5K steps
	FB program memory	10K steps		
Number of tasks		288 (32 cyclic tasks and 256 interrupt tasks)		
	Scheduled interrupt tasks	1 (interrupt task No. 2, fixed)		
	Input interrupt tasks	6 (interrupt task No. 140 to 145, fixed) (High-speed counter interrupts and interrupt tasks specified by external interrupts can also be executed.)		
Maximum subroutine number		256		
Maximum jump number		256		
I/O areas	Input Area	1,600 bits (100 words) CIO 0 to CIO 99		
		Built-in Input Area	24 bits: CIO 0.00 to CIO 0.11 and CIO 1.00 to CIO 1.11	18 bits: CIO 0.00 to CIO 0.11 and CIO 1.00 to CIO 1.05
	Output Area	1,600 bits (100 words) CIO 100 to CIO 199		
		Built-in Output Area	16 bits: CIO 100.00 to CIO 100.07 and CIO 101.00 to CIO 101.07	12 bits: CIO 100.00 to CIO 100.07 and CIO 101.00 to CIO 101.03
	1:1 Link Area	256 bits (16 words): CIO 3000.00 to CIO 3015.15 (CIO 3000 to CIO 3015)		
Serial PLC Link Area	1,440 bits (90 words): CIO 3100.00 to CIO 3189.15 (CIO 3100 to CIO 3189)			
Work bits		4,800 bits (300 words): CIO 1200.00 to CIO 1499.15 (words CIO 1200 to CIO 1499)		
		6,400 bits (400 words): CIO 1500.00 to CIO 1899.15 (words CIO 1500 to CIO 1899)		
		15,360 bits (960 words): CIO 2000.00 to CIO 2959.15 (words CIO 2000 to CIO 2959)		
		9,600 bits (600 words): CIO 3200.00 to CIO 3799.15 (words CIO 3200 to CIO 3799) 37,504 bits (2,344 words): CIO 3800.00 to CIO 6143.15 (words CIO 3800 to CIO 6143)		
TR Area		16 bits: TR0 to TR15		
Holding Area		8,192 bits (512 words): H0.00 to H511.15 (H0 to H511)		
AR Area		Read-only (Write-prohibited): 7168 bits (448 words): A0.00 to A447.15 (A0 to A447)		
		Read/Write: 8192 bits (512 words): A448.00 to A959.15 (A448 to A959)		

▪ **Lampiran 2**
Spesifikasi unit CPU Omron CP Series – CP1L

Timers	4,096 timer numbers: T0 to T4095		
Counters	4,096 counter numbers: C0 to C4095		
DM Area	32 Kwords: D0 to D32767	10 Kwords: D0 to D9999, D32000 to D32767	
Data Register Area	16 registers (16 bits): DR0 to DR15		
Index Register Area	16 registers (32 bits): IR0 to IR15		
Task Flag Area	32 flags (32 bits): TK0000 to TK0031		
Trace Memory	4,000 words (500 samples for the trace data maximum of 31 bits and 6 words.)		
Memory Cassette	A special Memory Cassette (CP1W-ME05M) can be mounted. Note: Can be used for program backups and auto-booting.		
Clock function	Supported. Accuracy (monthly deviation): -4.5 min to -0.5 min (ambient temperature: 55°C), -2.0 min to +2.0 min (ambient temperature: 25°C), -2.5 min to +1.5 min (ambient temperature: 0°C) Built-in Ethernet Port (Connecting Support Software, Message Communications, Socket Service)		
Communications functions	A maximum of two Serial Communications Option Boards can be mounted.	A maximum of one Serial Communications Option Board can be mounted.	
Memory backup	Flash memory: User programs, parameters (such as the PLC Setup), comment data, and the entire DM Area can be saved to flash memory as initial values. Battery backup: The Holding Area, DM Area, and counter values (flags, PV) are backed up by a battery.		
Battery service life	Service life expectancy is 5 years at 25°C, less at higher temperatures. (From 0.75 to 5 years depending on model, power supply rate, and ambient temperature.)		
Built-in input terminals	40 (24 inputs, 16 outputs)	30 (18 inputs, 12 outputs)	20 (12 inputs, 8 outputs)
Number of connectable Expansion Units and Expansion I/O Units	CP-series Expansion Unit and Expansion I/O Units: 3 max.		CP-series Expansion Units and Expansion I/O Units: 1 max.
Max. number of I/O points	160 (40 built in + 40 per Expansion (I/O) Unit x 3 Units)	150 (30 built in + 40 per Expansion (I/O) Unit x 3 Units)	60 (20 built in + 40 per Expansion (I/O) Unit x 1 Unit)
Interrupt inputs	6 inputs (Response time: 0.3 ms)		
Interrupt inputs counter mode	6 inputs (Response frequency: 5 kHz max. for all interrupt inputs), 16 bits Up or down counters		
Quick-response inputs	6 points (Min. input pulse width: 50 µs max.)		
Scheduled Interrupts	1		
High-speed counters	4 inputs/2 axes (24 VDC) Differential phases (4x), 50 kHz Single-phase (pulse plus direction, up/down, increment), 100 kHz Value range: 32 bits, Linear mode or ring mode Interrupts: Target value comparison or range comparison		

Type		CP1L-EM40 (40 points)	CP1L-EM30 (30 points)	CP1L-EL20 (20 points)
Models		CP1L-EM40□□□□	CP1L-EM30□□□□	CP1L-EL20□□□□
Pulse outputs (models with transistor outputs only)	Pulse outputs	Trapezoidal or S-curve acceleration and deceleration (Duty ratio: 50% fixed) 2 outputs, 1 Hz to 100 kHz (CCW/CW or pulse plus direction)		
	PWM outputs	Duty ratio: 0.0% to 100.0% (specified in increments of 0.1% or 1%) 2 outputs, 0.1 to 6553.5 Hz or 1 to 32,800 Hz (Accuracy: +1%/0% at 0.1 Hz to 10,000 Hz and +5%/0% at 10,000 Hz to 32,800 Hz)		
Analog input		2 input (Resolution: 1/1000, input range: 0 to 10 V). Not isolated.		

4. Lampiran 3

Lampiran dari CP1L

■ CPU Units

Built-in Ethernet port

CPU Unit	CPU type	Specifications				Model	Standards
		Power supply	Output method	Inputs	Outputs		
 CP1L-EM CPU Units with 40 Points	Memory capacity: 10K steps High-speed counters: 100 kHz, 4 axes Pulse outputs: 100 kHz, 2 axes (Models with transistor outputs only)	DC power supply	Relay output	24	16	CP1L-EM40DR-D	CE
			Transistor output (sinking)			CP1L-EM40DT-D	
			Transistor output (sourcing)			CP1L-EM40DT1-D	
 CP1L-EM CPU Units with 30 Points	Memory capacity: 10K steps High-speed counters: 100 kHz, 4 axes Pulse outputs: 100 kHz, 2 axes (Models with transistor outputs only)	DC power supply	Relay output	18	12	CP1L-EM30DR-D	CE
			Transistor output (sinking)			CP1L-EM30DT-D	
			Transistor output (sourcing)			CP1L-EM30DT1-D	
 CP1L-EL CPU Units with 20 Points	Memory capacity: 5K steps High-speed counters: 100 kHz, 4 axes Pulse outputs: 100 kHz, 2 axes (Models with transistor outputs only)	DC power supply	Relay output	12	8	CP1L-EL20DR-D	CE
			Transistor output (sinking)			CP1L-EL20DT-D	
			Transistor output (sourcing)			CP1L-EL20DT1-D	

Built-in USB port

CPU Unit	CPU type	Specifications				Model	Standards
		Power supply	Output method	Inputs	Outputs		
 CP1L-M CPU Units with 60 Points	Memory capacity: 10K steps High-speed counters: 100 kHz, 4 axes Pulse outputs: 100 kHz, 2 axes (Models with transistor outputs only)	AC power supply	Relay output	36	24	CP1L-M60DR-A	UC1, N, L, CE
			Transistor output (sinking)			CP1L-M60DT-A	
		DC power supply	Relay output			CP1L-M60DR-D	
			Transistor output (sinking)			CP1L-M60DT-D	
		DC power supply	Transistor output (sinking)			CP1L-M60DT1-D	
			Transistor output (sourcing)				
 CP1L-M CPU Units with 40 Points	Memory capacity: 10K steps High-speed counters: 100 kHz, 4 axes Pulse outputs: 100 kHz, 2 axes (Models with transistor outputs only)	AC power supply	Relay output	24	16	CP1L-M40DR-A	UC1, N, L, CE
			Transistor output (sinking)			CP1L-M40DT-A	
		DC power supply	Relay output			CP1L-M40DR-D	
			Transistor output (sinking)			CP1L-M40DT-D	
		DC power supply	Transistor output (sinking)			CP1L-M40DT1-D	
			Transistor output (sourcing)				
 CP1L-M CPU Units with 30 Points	Memory capacity: 10K steps High-speed counters: 100 kHz, 4 axes Pulse outputs: 100 kHz, 2 axes (Models with transistor outputs only)	AC power supply	Relay output	18	12	CP1L-M30DR-A	UC1, N, L, CE
			Transistor output (sinking)			CP1L-M30DT-A	
		DC power supply	Relay output			CP1L-M30DR-D	
			Transistor output (sinking)			CP1L-M30DT-D	
		DC power supply	Transistor output (sinking)			CP1L-M30DT1-D	
			Transistor output (sourcing)				

CPU Unit	CPU type	Specifications				Model	Standards
		Power supply	Output method	Inputs	Outputs		
 CP1L-L CPU Units with 20 Points	Memory capacity: 5K steps High-speed counters: 100 kHz, 4 axes Pulse outputs: 100 kHz, 2 axes (Models with transistor outputs only)	AC power supply	Relay output	12	8	CP1L-L20DR-A	UC1, N, L, CE
			Transistor output (sinking)			CP1L-L20DT-A	
		DC power supply	Relay output			CP1L-L20DR-D	
			Transistor output (sinking)			CP1L-L20DT-D	
		DC power supply	Transistor output (sinking)			CP1L-L20DT1-D	
			Transistor output (sourcing)				
 CP1L-L CPU Units with 14 Points	Memory capacity: 5K steps High-speed counters: 100 kHz, 4 axes Pulse outputs: 100 kHz, 2 axes (Models with transistor outputs only)	AC power supply	Relay output	8	6	CP1L-L14DR-A	UC1, N, L, CE
			Transistor output (sinking)			CP1L-L14DT-A	
		DC power supply	Relay output			CP1L-L14DR-D	
			Transistor output (sinking)			CP1L-L14DT-D	
		DC power supply	Transistor output (sinking)			CP1L-L14DT1-D	
			Transistor output (sourcing)				
 CP1L-L CPU Units with 10 Point	Memory capacity: 5K steps High-speed counters: 100 kHz, 4 axes Pulse outputs: 100 kHz, 2 axes (Models with transistor outputs only)	AC power supply	Relay output	6	4	CP1L-L10DR-A	UC1, N, L, CE
			Transistor output (sinking)			CP1L-L10DT-A	
		DC power supply	Relay output			CP1L-L10DR-D	
			Transistor output (sinking)			CP1L-L10DT-D	
		DC power supply	Transistor output (sinking)			CP1L-L10DT1-D	
			Transistor output (sourcing)				

■ Expansion Units

Product name	Inputs	Outputs	Output type	Model	Standards		
Input Unit	8	--	24 VDC Input	CP1W-8ED			
Output Units 	--	8	Relay	CP1W-8ER	U, C, N, L, CE		
			Transistor (sinking)	CP1W-8ET			
			Transistor (sourcing)	CP1W-8ET1			
	--	16	Relay	CP1W-16ER	N, L, CE		
			Transistor (sinking)	CP1W-16ET			
			Transistor (sourcing)	CP1W-16ET1			
	--	32	Relay	CP1W-32ER	N, L, CE		
			Transistor (sinking)	CP1W-32ET			
			Transistor (sourcing)	CP1W-32ET1			
I/O Units 	12	8	Relay	CP1W-20EDR1	U, C, N, L, CE		
			Transistor (sinking)	CP1W-20EDT			
			Transistor (sourcing)	CP1W-20EDT1			
	24	16	Relay	CP1W-40EDR	N, L, CE		
			Transistor (sinking)	CP1W-40EDT			
			Transistor (sourcing)	CP1W-40EDT1			
Analog Input Unit 	4CH	--	Input range: 0 to 5 V, 1 to 5 V, 0 to 10 V, ±10 V, 0 to 20 mA, or 4 to 20 mA.	Resolution: 1/6000	CP1W-AD041	UC1, N, L, CE	
			Resolution: 1/12000	CP1W-AD042	UC1, CE		
Analog Output Unit 	--	2CH	Output range: 1 to 5 V, 0 to 10 V, ±10 V, 0 to 20 mA, or 4 to 20 mA.	Resolution: 1/6000	CP1W-DA021	UC1, N, L, CE	
	--	4CH		Resolution: 1/6000	CP1W-DA041		
	--	--		Resolution: 1/12000	CP1W-DA042	UC1, CE	
Analog I/O Unit 	4CH	4CH	Input range: 0 to 5 V, 1 to 5 V, 0 to 10 V, ±10 V, 0 to 20 mA, or 4 to 20 mA.	Resolution: 1/12000	CP1W-MAD44	UC1, CE	
	4CH	2CH	Output range: 1 to 5 V, 0 to 10 V, ±10 V, 0 to 20 mA, or 4 to 20 mA.	Resolution: 1/12000	CP1W-MAD42		
	2CH	1CH	Resolution: 1/6000	CP1W-MAD11	UC1, N, L, CE		
Temperature Sensor Unit 	2CH	--	Sensor type: Thermocouple (J or K)		CP1W-TS001	UC1, N, L, CE	
	4CH	--	Sensor type: Thermocouple (J or K)		CP1W-TS002		
	2CH	--	Sensor type: Platinum resistance thermometer (Pt100 or JPt100)		CP1W-TS101		
	4CH	--	Sensor type: Platinum resistance thermometer (Pt100 or JPt100)		CP1W-TS102		
	4CH	--	Sensor type: Thermocouple (J or K) 2 channels can be used as analog input. Input range: 1 to 5 V, 0 to 10 V, 4-20 mA.	Resolution: 1/12000	CP1W-TS003		UC1, CE
	12CH	--	Sensor type: Thermocouple (J or K)		CP1W-TS004		
CompoBus/S I/O Link Unit 	8	8	CompoBus/S slave		CP1W-SRT21	UC1, N, L, CE	

■ I/O Connecting Cable

Name	Specifications	Model	Standards
I/O Connecting Cable	80 cm (for CP1W Expansion Units)	CP1W-CN811	UC1, N, L, CE

Note: An I/O Connecting Cable (approx. 6 cm) for horizontal connection is provided with CP1W Expansion Units.

■ Optional Products, Maintenance Products and DIN Track Accessories

Name	Specifications	Model	Standards
Battery Set	For CPU Units (Use batteries within two years of manufacture.)	CJ1W-BAT01	CE
DIN Track	Length: 0.5 m; Height: 7.3 mm	PPF-50N	---
	Length: 1 m; Height: 7.3 mm	PPF-100N	
	Length: 1 m; Height: 16 mm	PPF-100N2	
End Plate	A stopper to secure the Units on the DIN Track.	PPF-M	

■ Industrial Switching Hubs

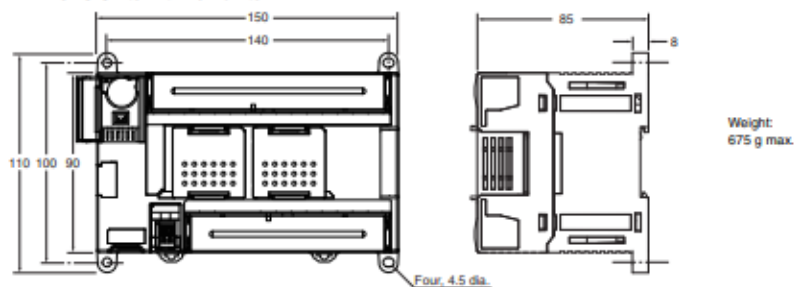
Product name	Appearance	Specifications			Accessories	Current consumption (A)	Model	Standards
		Functions	No. of ports	Failure detection				
Industrial Switching Hubs		Quality of Service (DoS); EtherNet/IP control data priority Failure detection:	3	No	• Power supply connector	0.22	W4S1-03B	UC, CE
		Broadcast storm and LSI error detection 10/100BASE-TX, Auto-Negotiation	5	No		0.22	W4S1-05B	
			5	Yes	• Power supply connector • Connector for informing error	0.22	W4S1-05C	CE

Dimensions

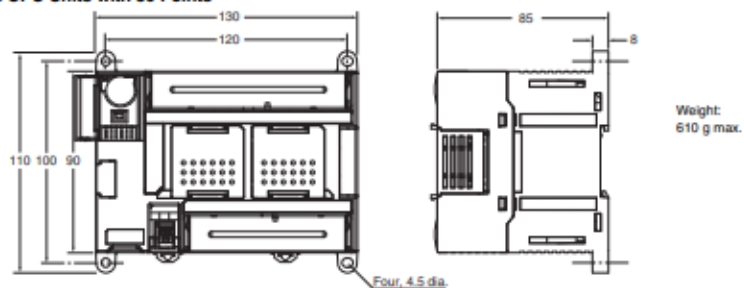
(Unit: mm)

■ CPU Units

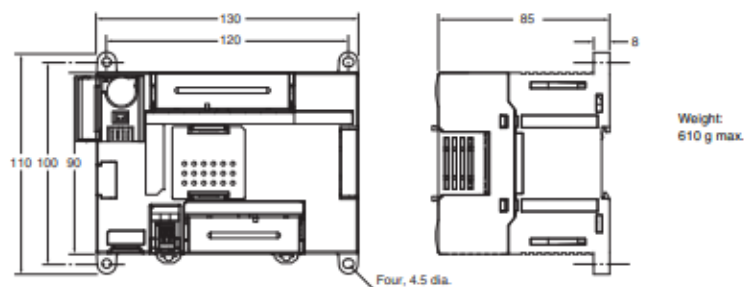
CP1L-EM CPU Units with 40 Points



CP1L-EM CPU Units with 30 Points

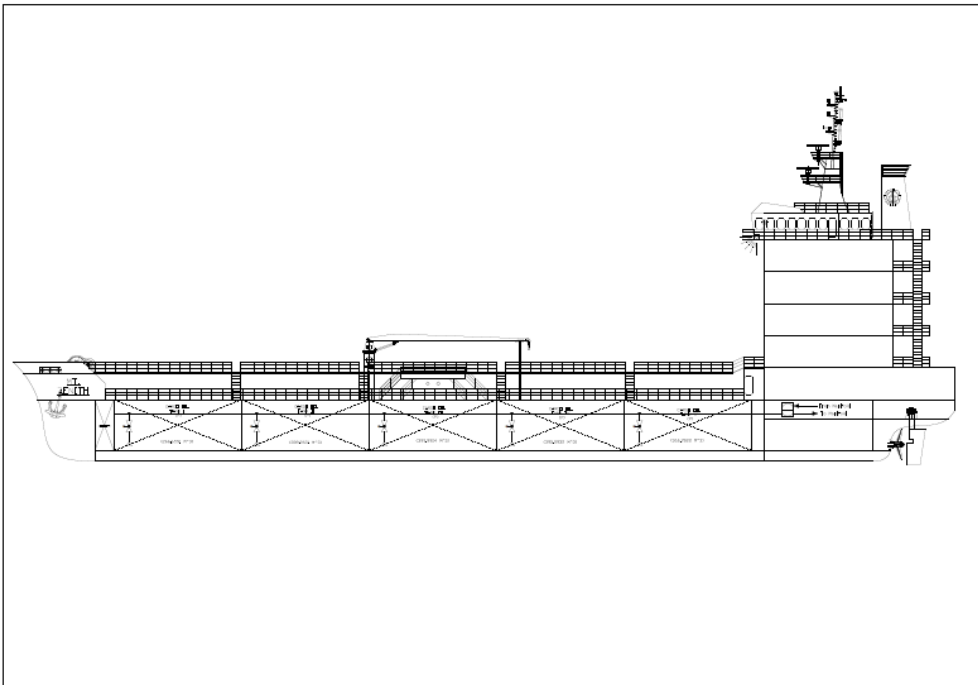
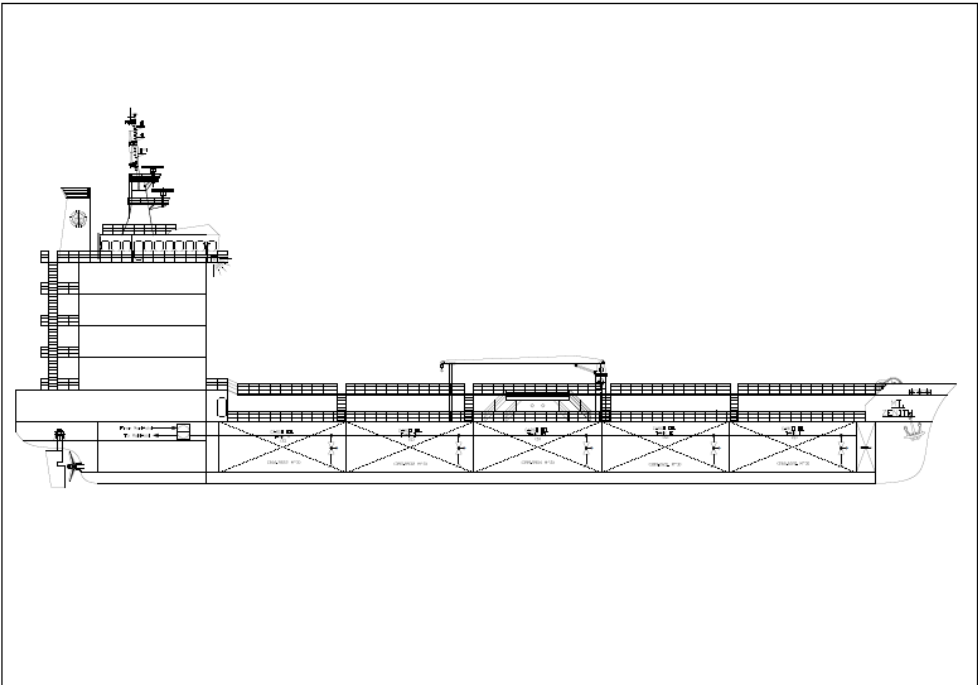


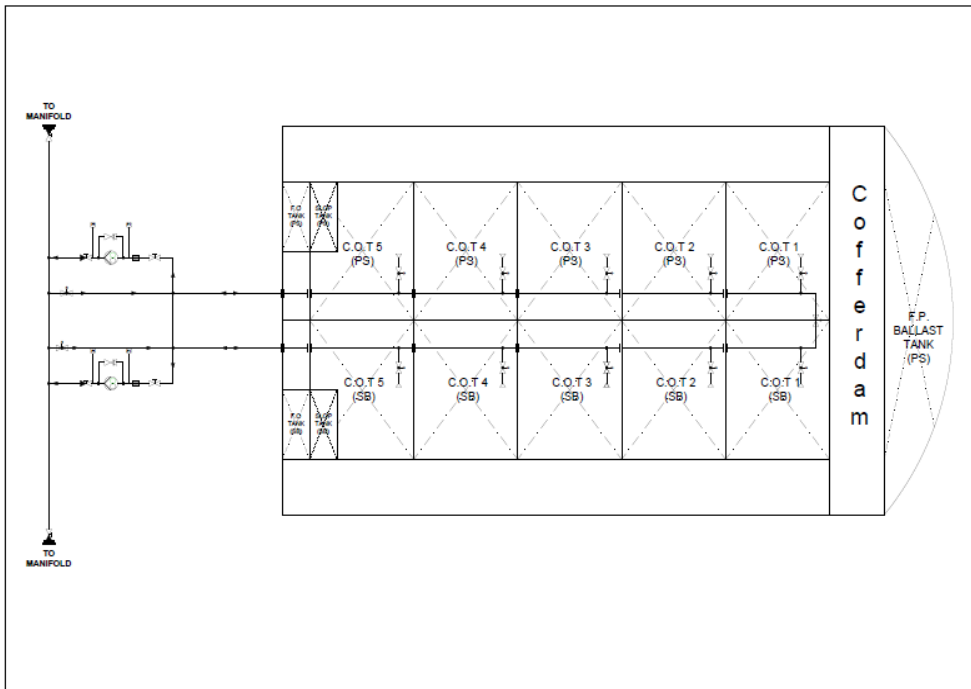
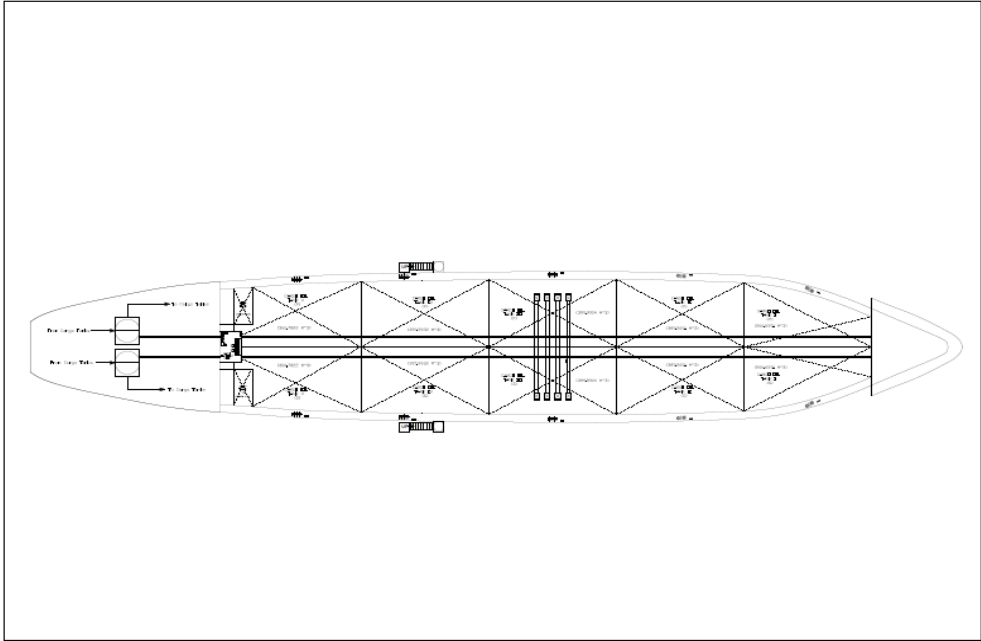
CP1L-EL CPU Units with 20 Points



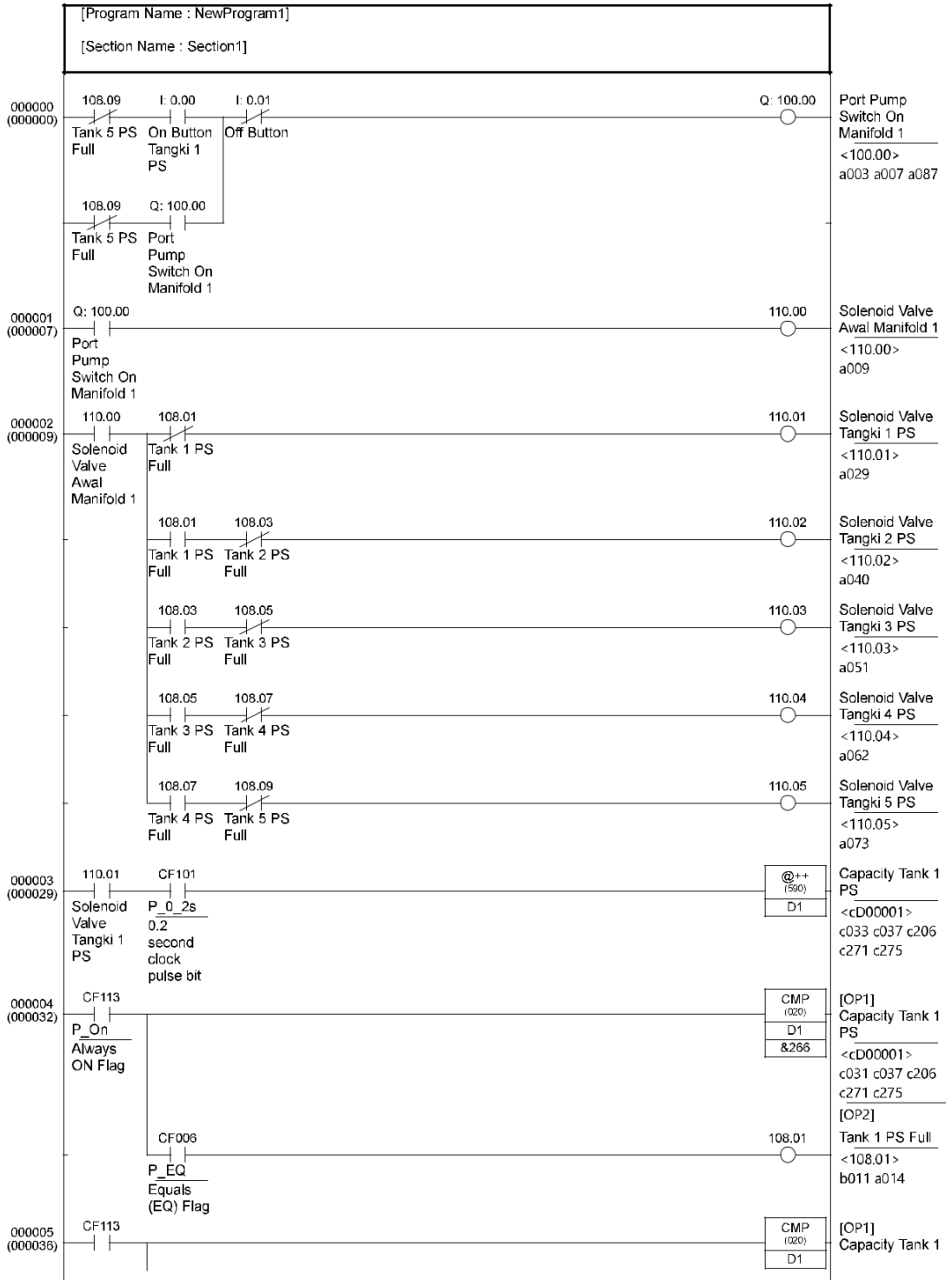
Lampiran 4

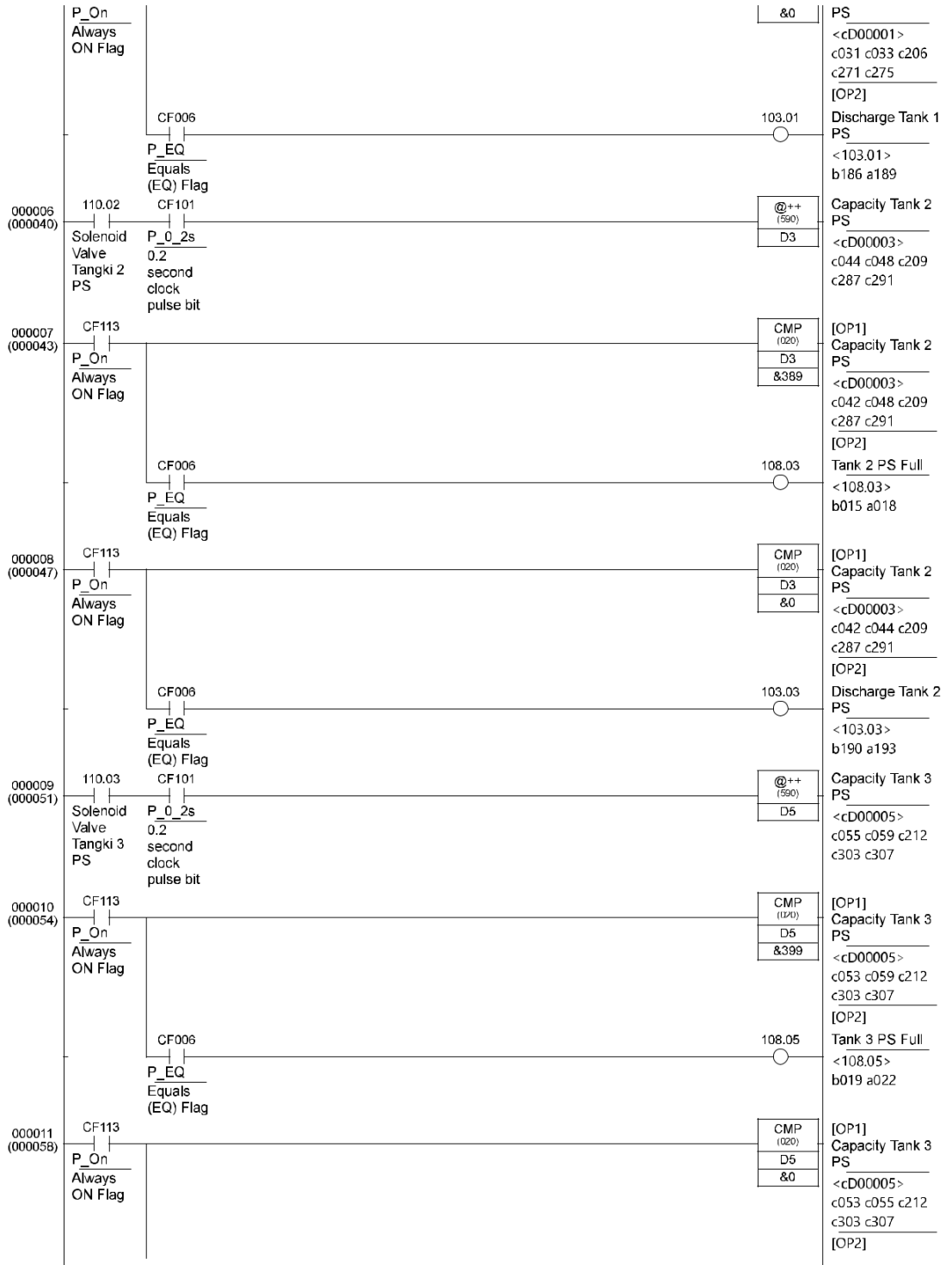
Skenario Sistem Bongkar Muat Kapal

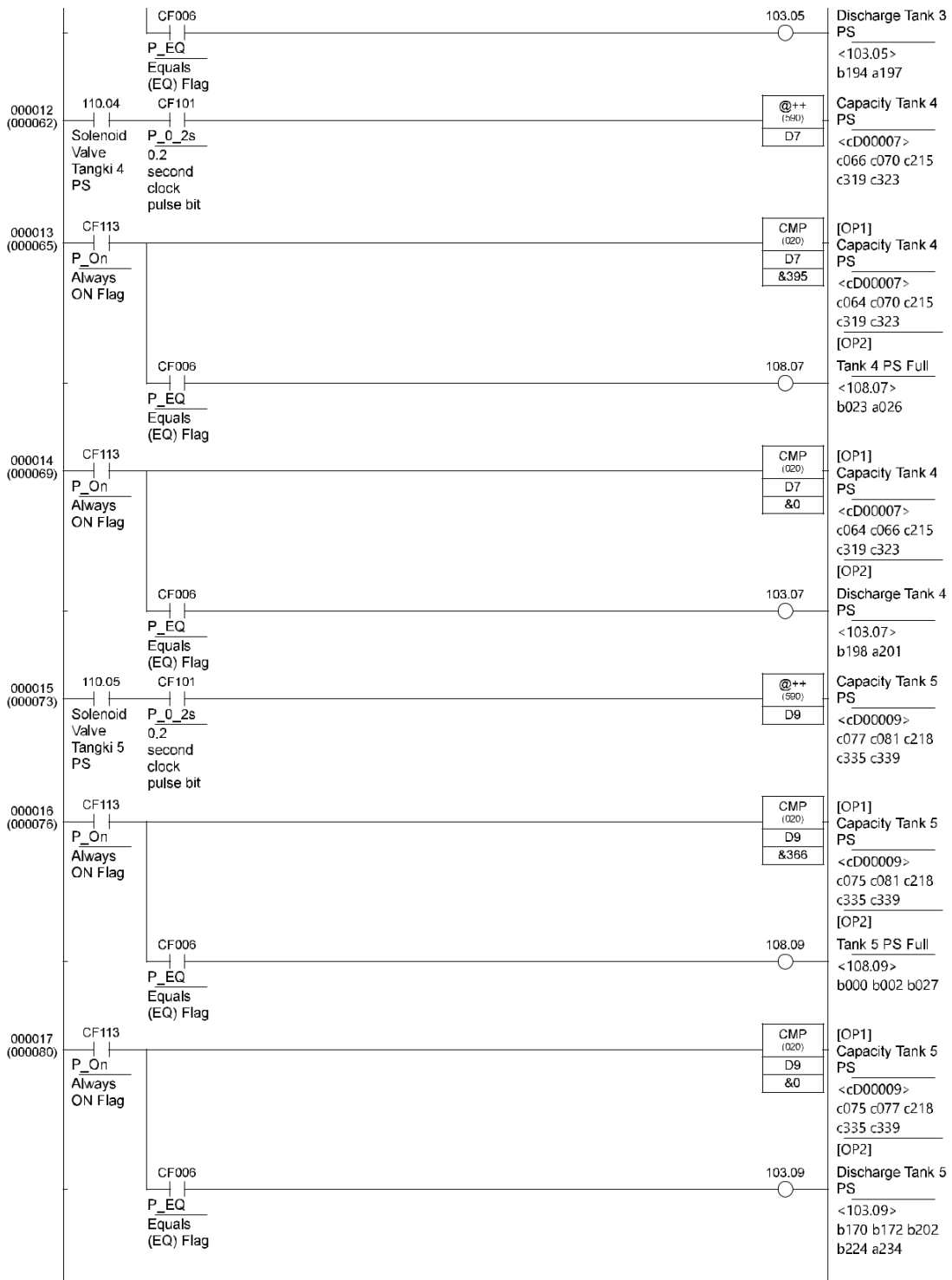


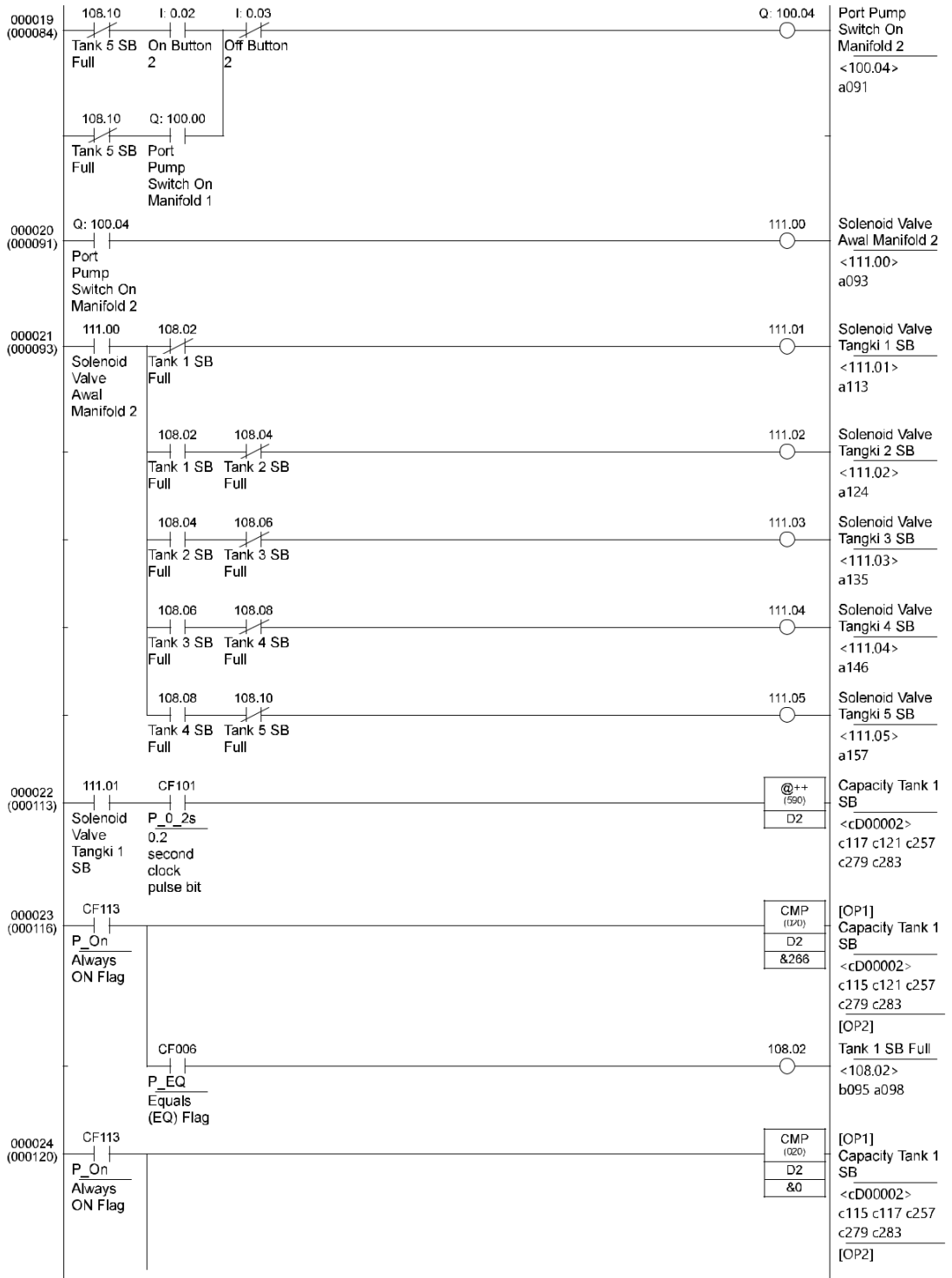


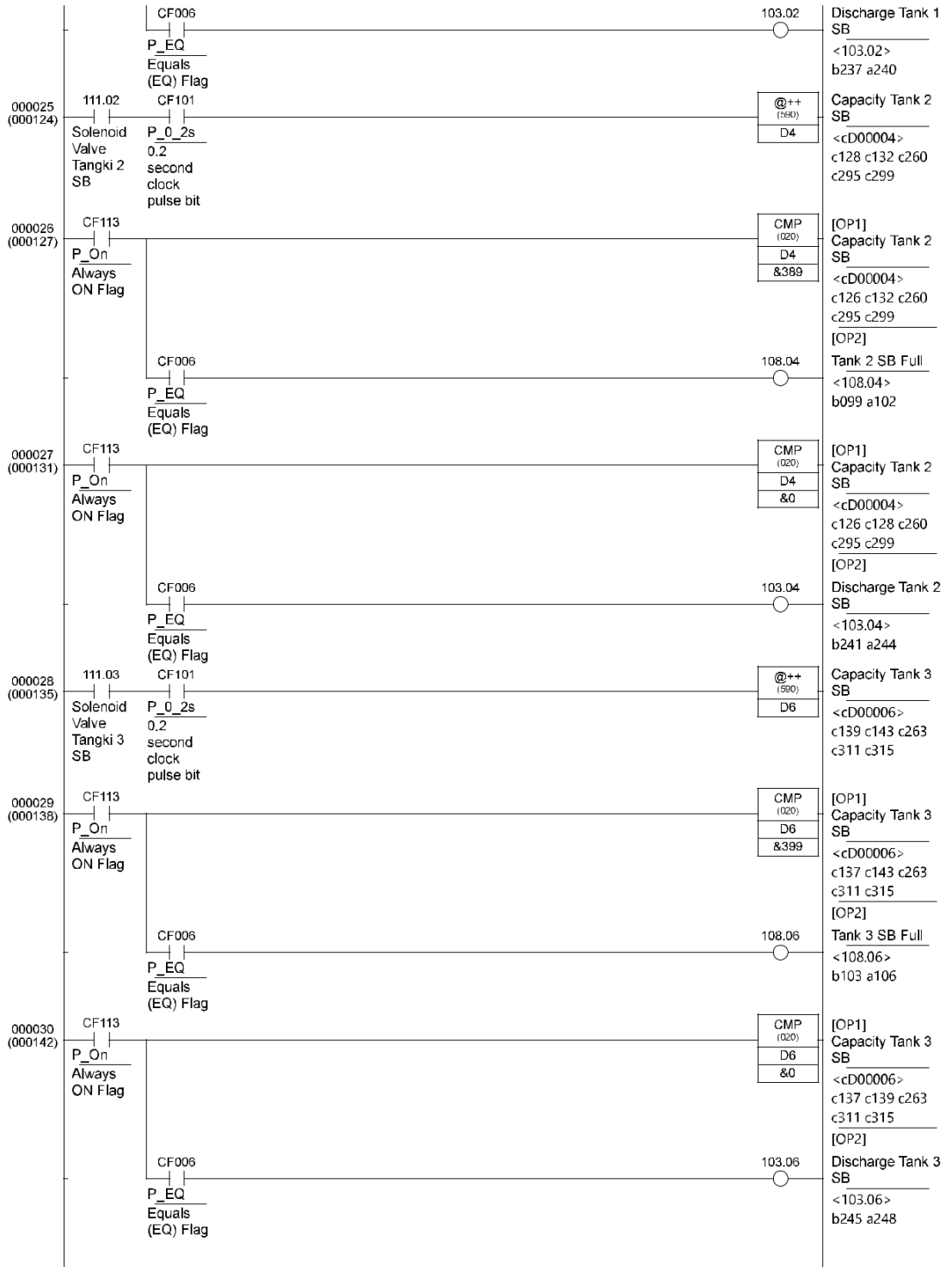
▪ **Ladder Diagram Secara Keseluruhan**

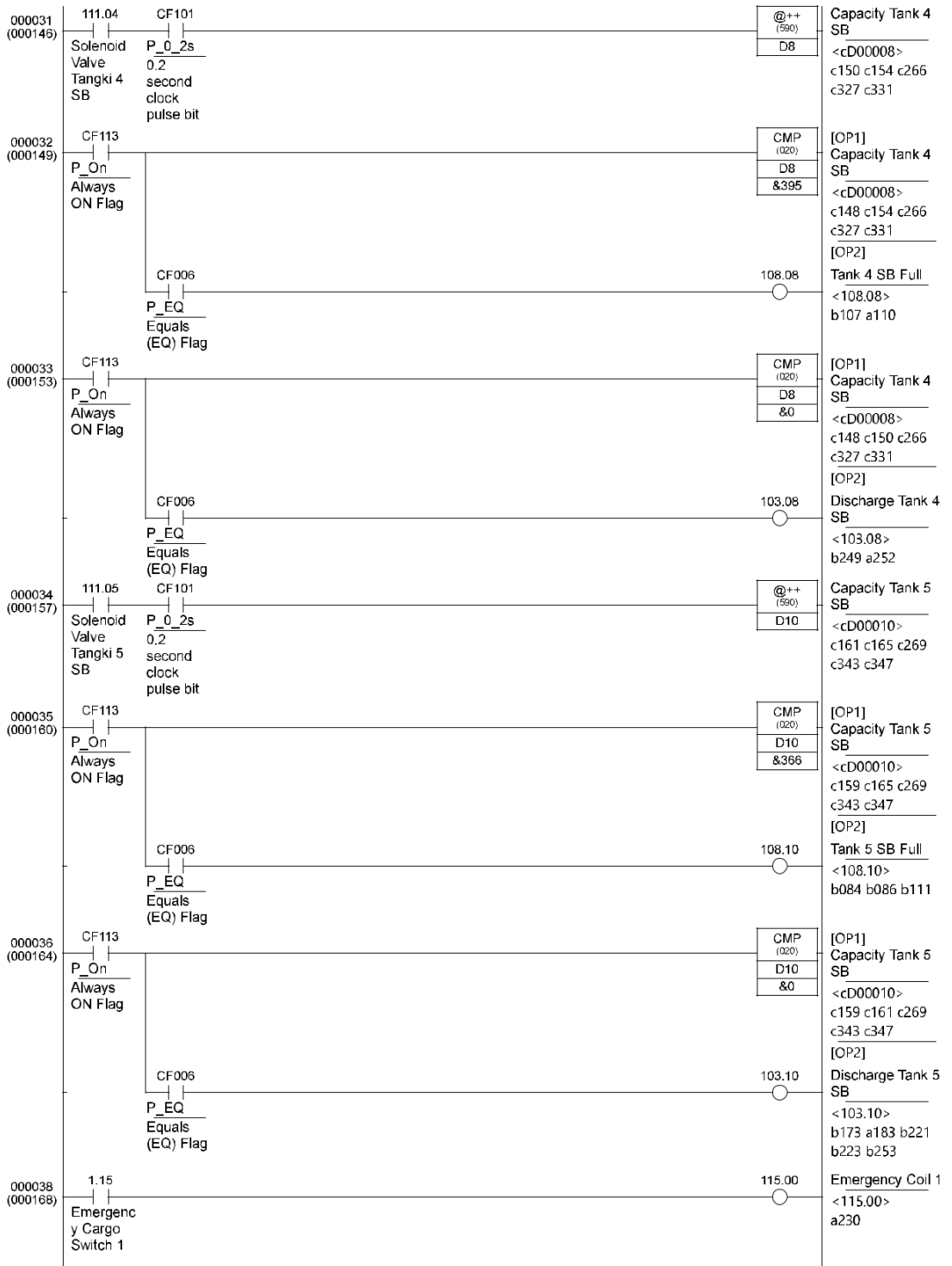


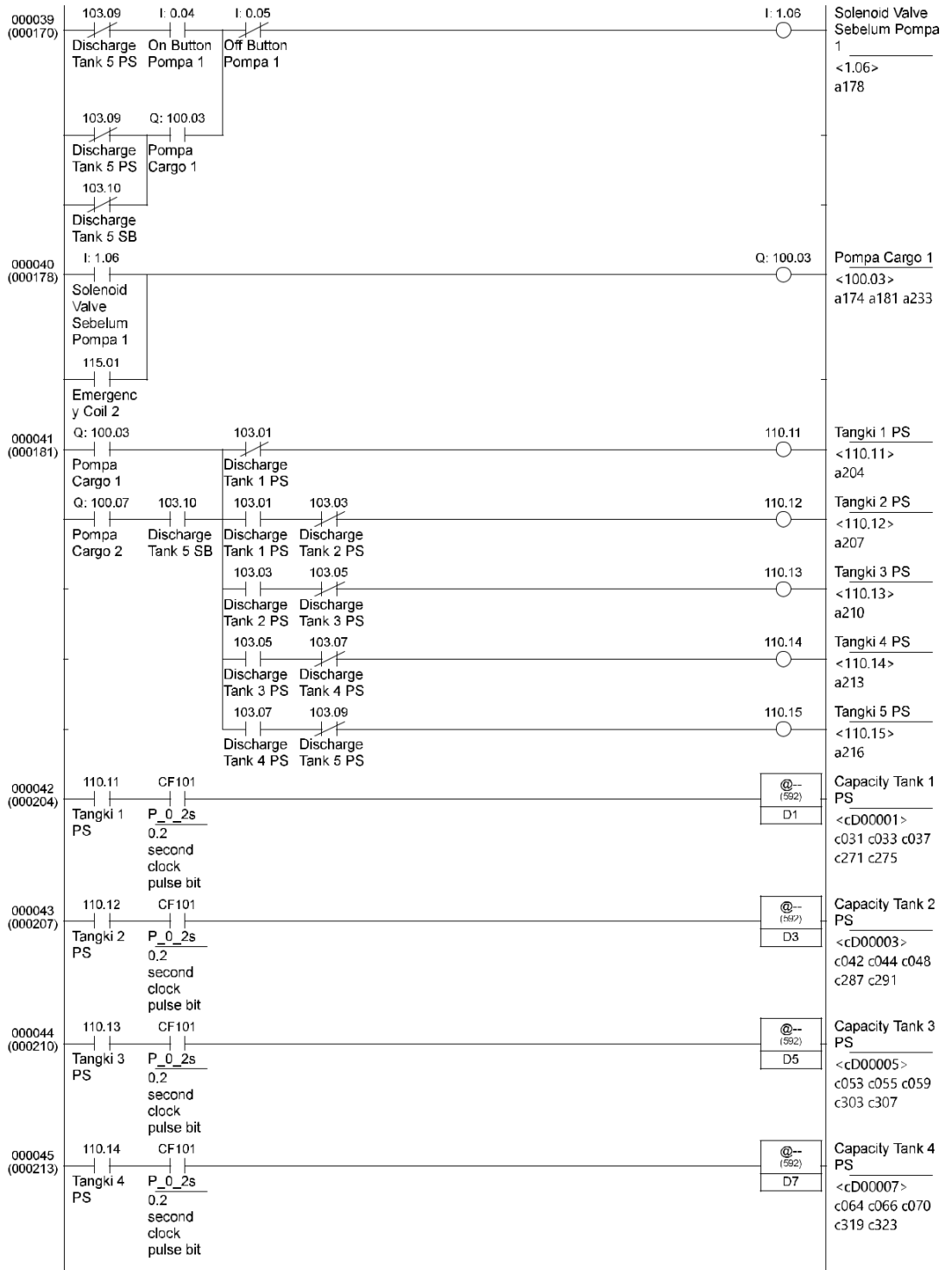


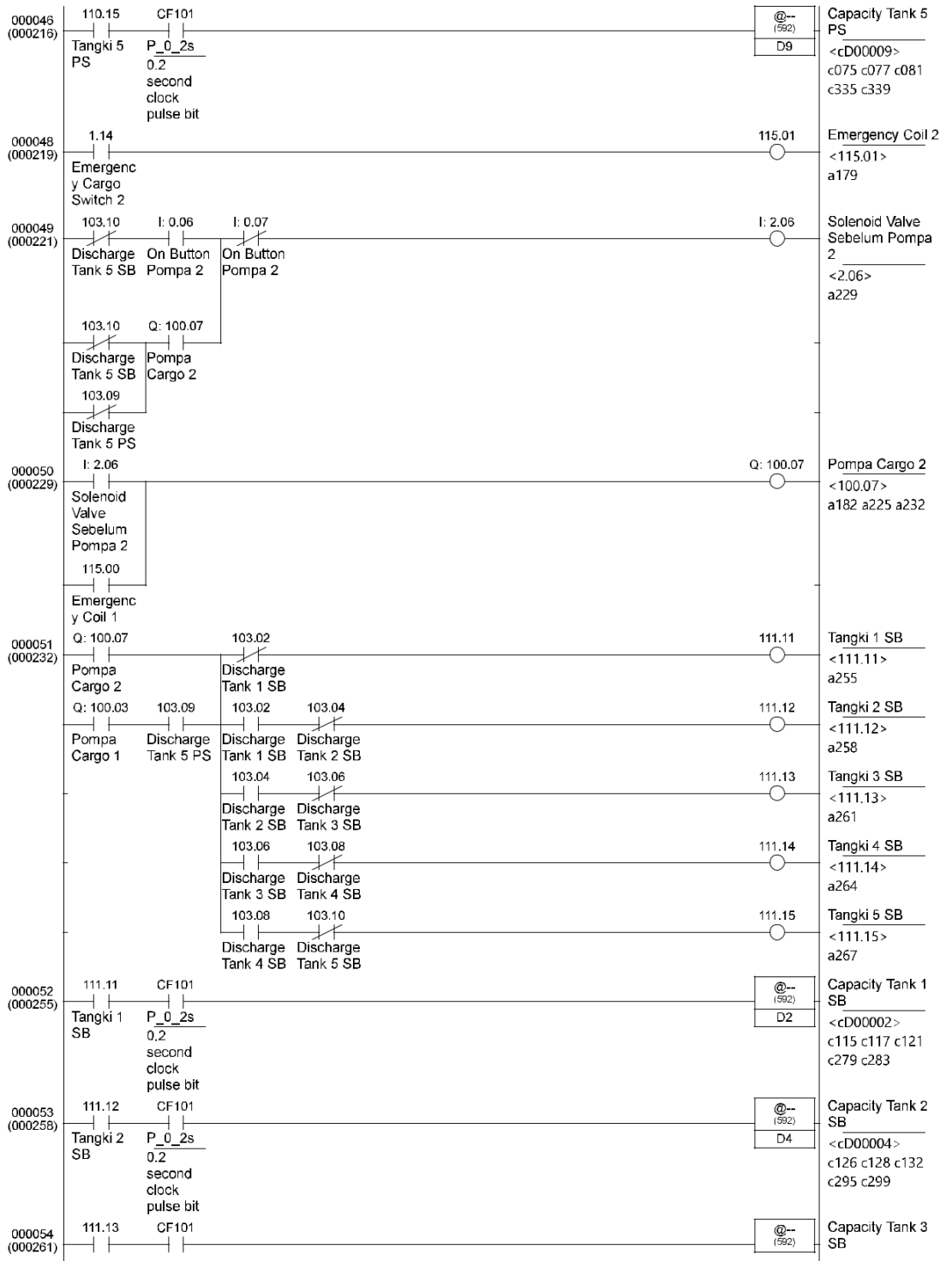


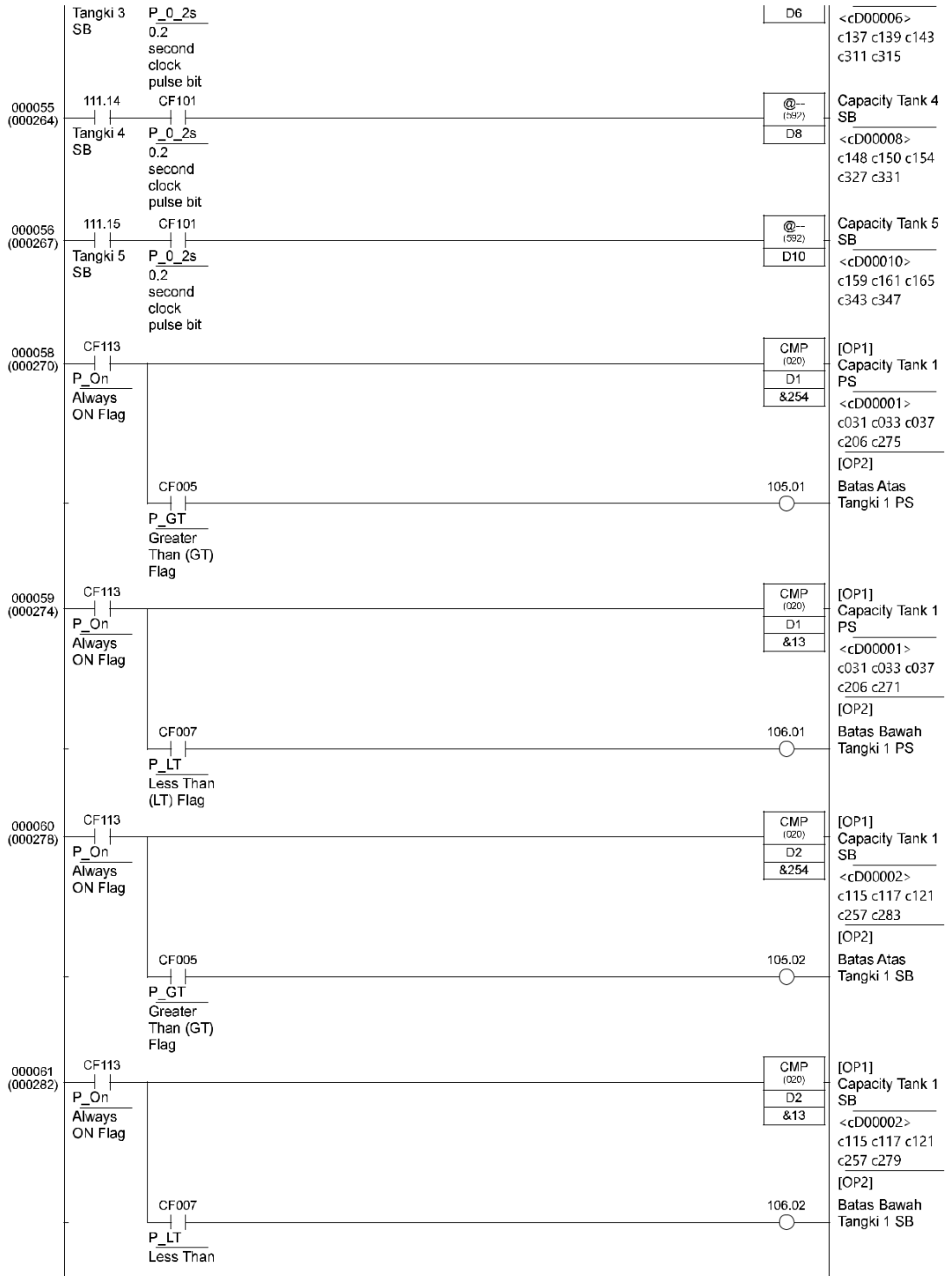


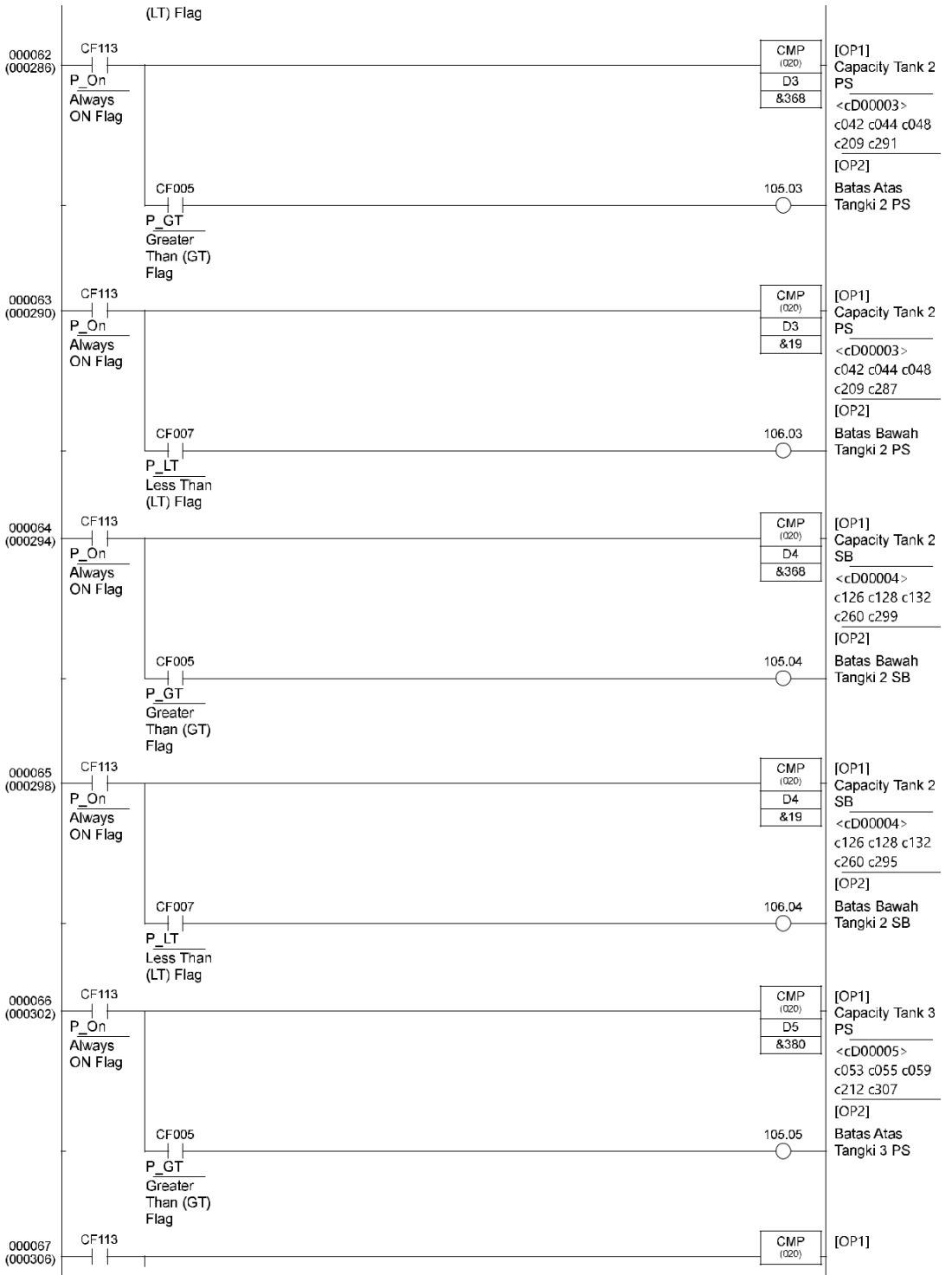


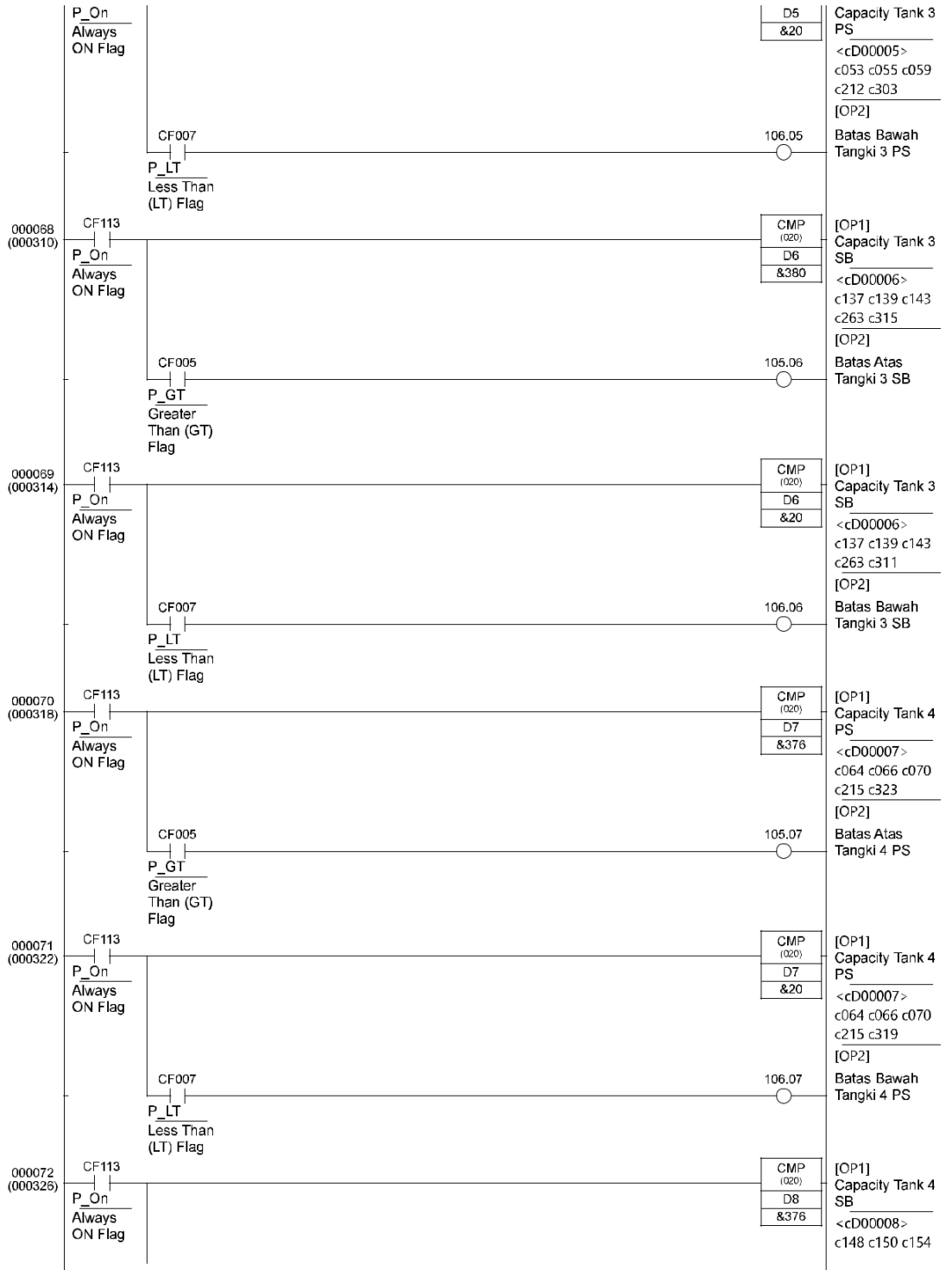


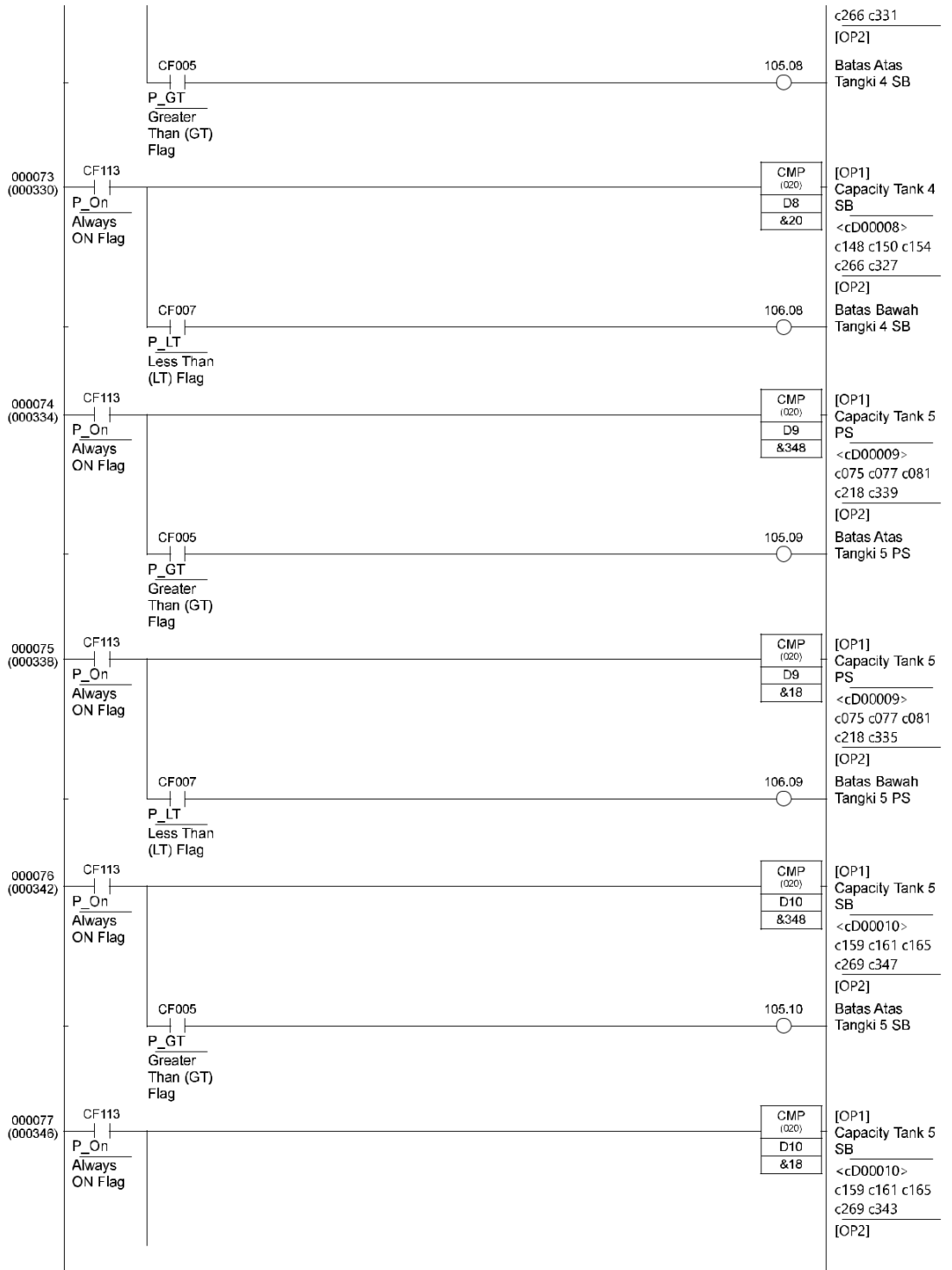












CF007
P_LT
Less Than
(LT) Flag

106.10

Batas Bawah
Tangki 5 SB

BIODATA PENULIS



Penulis lahir di Jakarta pada tanggal 27 Oktober 1998 dengan nama Reyhan Ibrahim dan merupakan anak kedua dari pasangan M. Fazri Sembiring dan Hery Retnowati. Penulis menempuh jenjang mulai dari SD Negeri 03 Pondok Labu, Jakarta Selatan (2004 – 2010), SMP Negeri 56 Jakarta, DKI Jakarta, (2010 – 2013) dan SMA Negeri 34 Jakarta, DKI Jakarta (2013 – 2016). Setelah

lulus dari bangku Sekolah Menengah Atas (SMA), penulis diterima di Departemen Teknik Sistem Perkapalan, Fakultas Teknologi Kelautan, Institut Teknologi Sepuluh Nopember.

Selama menempuh masa studi, penulis aktif di berbagai kegiatan dan organisasi. Diantaranya masuk kedalam, panitia Marine Icon 2017, Anggota dan Staff UKM Paduan Suara Mahasiswa 2017 – 2019 dan anggota dari Marine Electrical and Automatical System Laboratory DTSP ITS. Selain itu, penulis juga pada masa perkuliahan melakukan kerja praktik di dua tempat yaitu di PT.BATAMEC Shipyard yang berlokasi di Batam, Indonesia dan PT. Pertamina (Persero) MOR VI Balikpapan yang berlokasi di Balikpapan, Kalimantan Timur, Indonesia.